



ALLEGATO

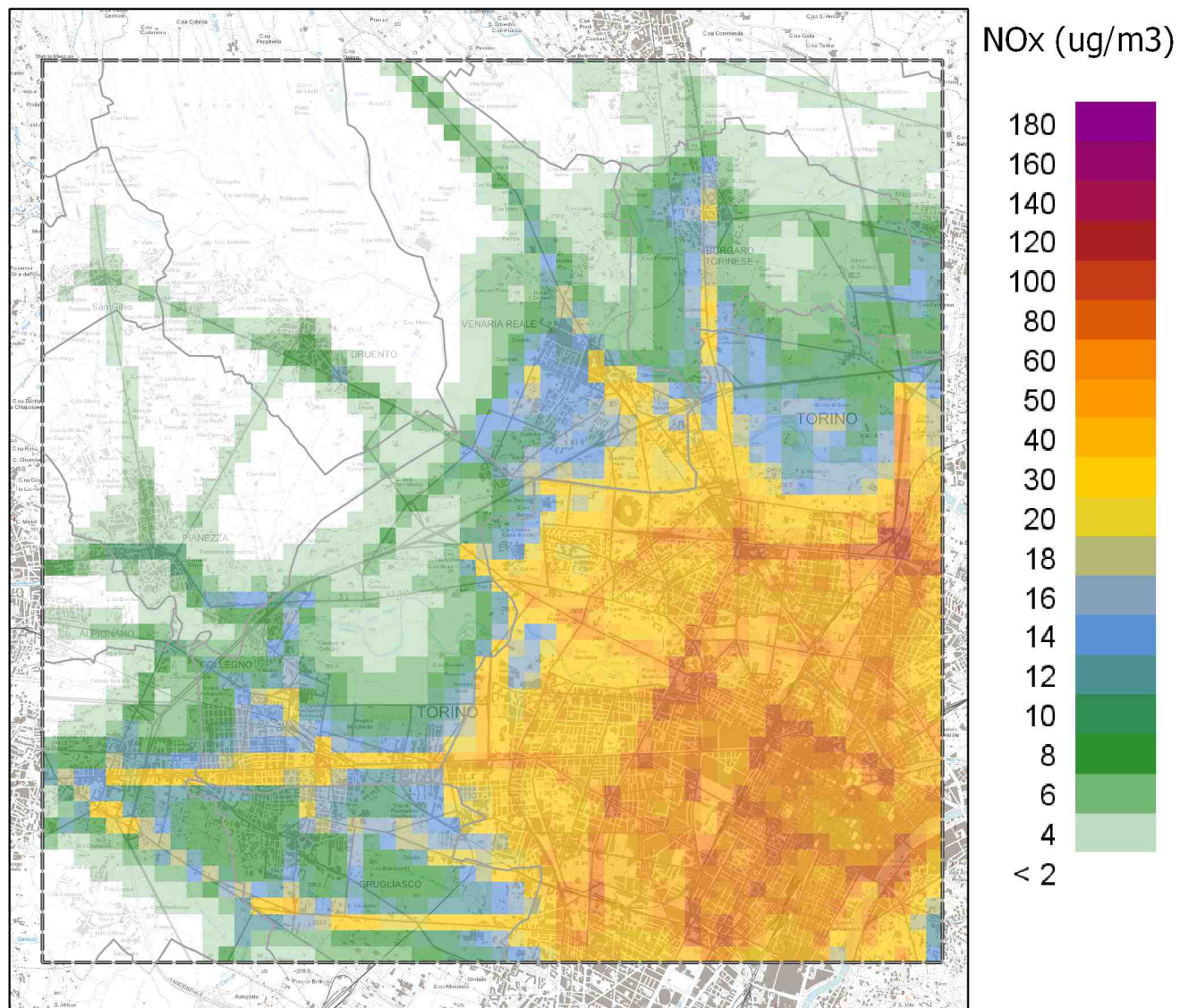


Figura A1. Ossidi di azoto (01/12/10 ÷ 28/02/11): concentrazioni medie del traffico urbano ed extraurbano

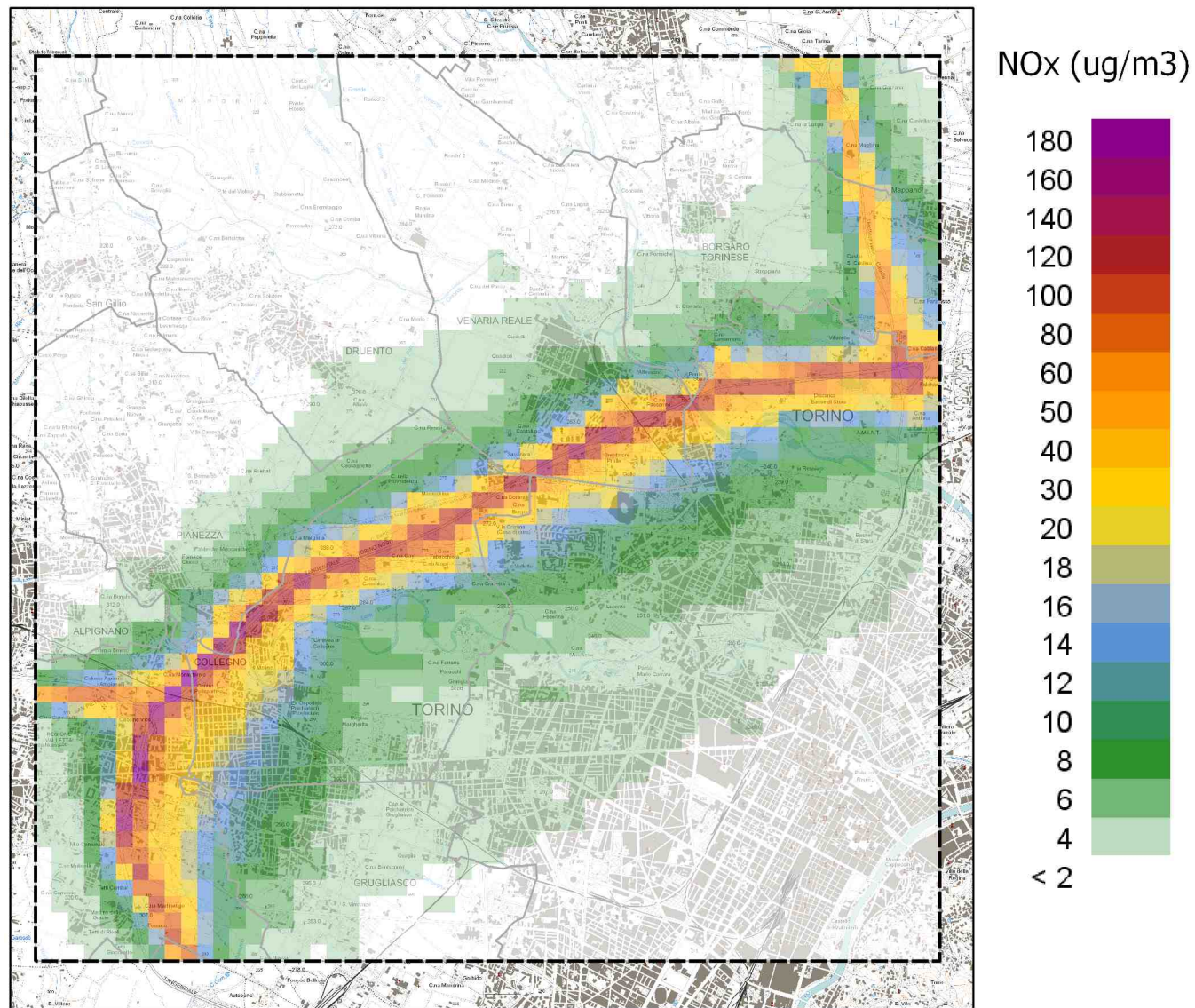


Figura A2. Ossidi di azoto (01/12/10 ÷ 28/02/11): concentrazioni medie del traffico autostradale

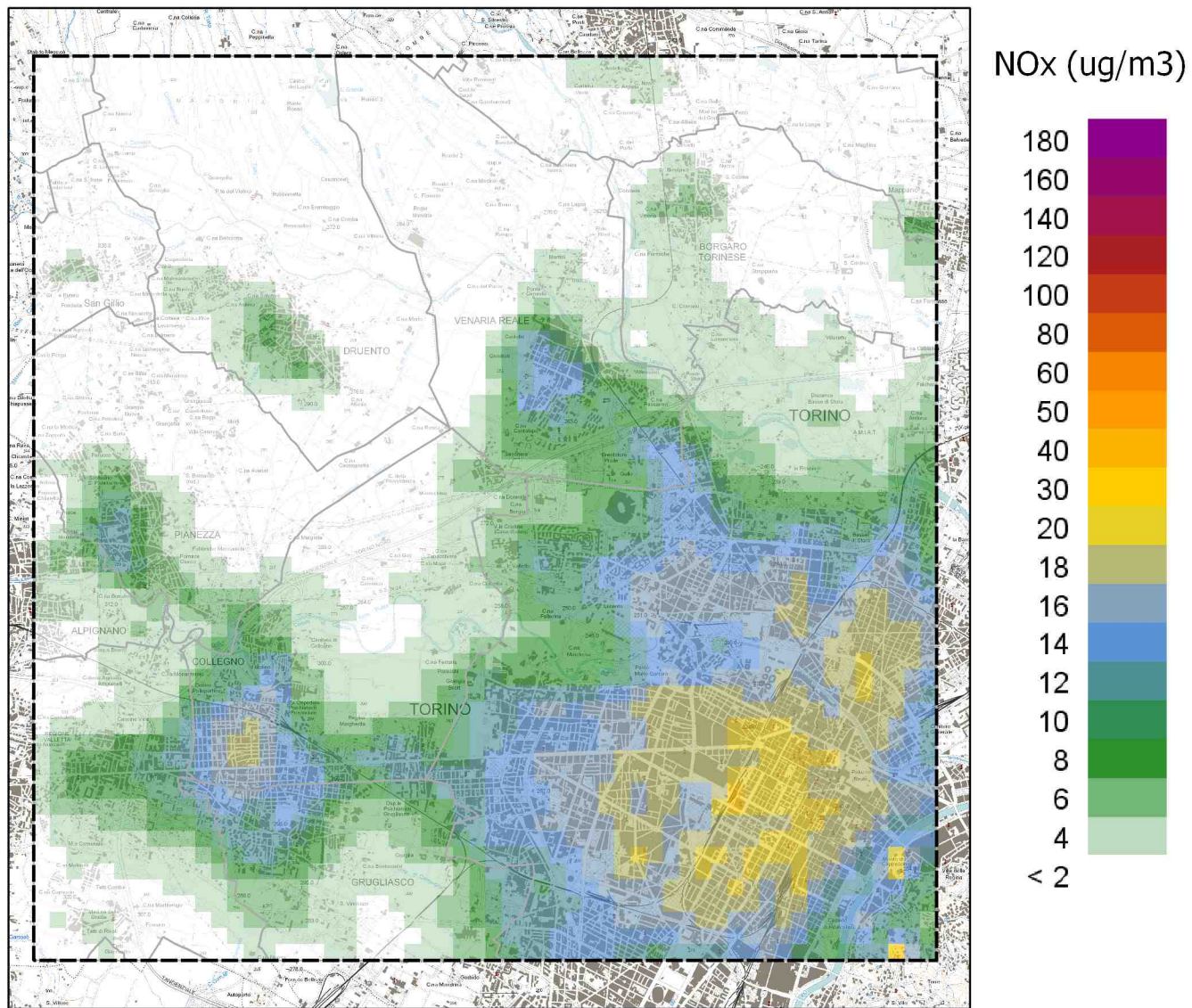


Figura A3. Ossidi di azoto (01/12/10 ÷ 28/02/11): concentrazioni medie del riscaldamento civile

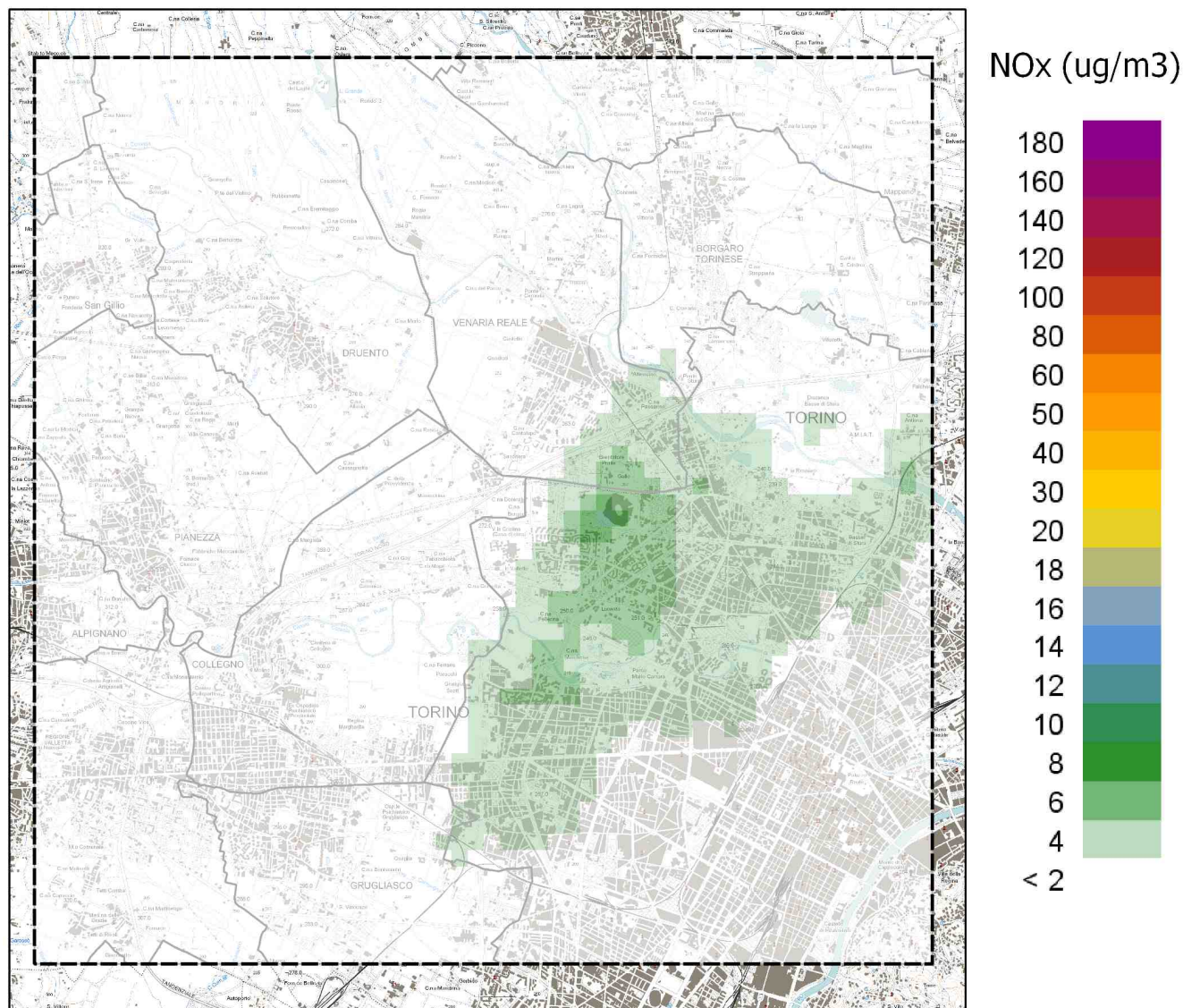


Figura A4. Ossidi di azoto (01/12/10 ÷ 28/02/11): concentrazioni medie degli impianti industriali (esclusa la Centrale Termoelettrica Torino Nord)

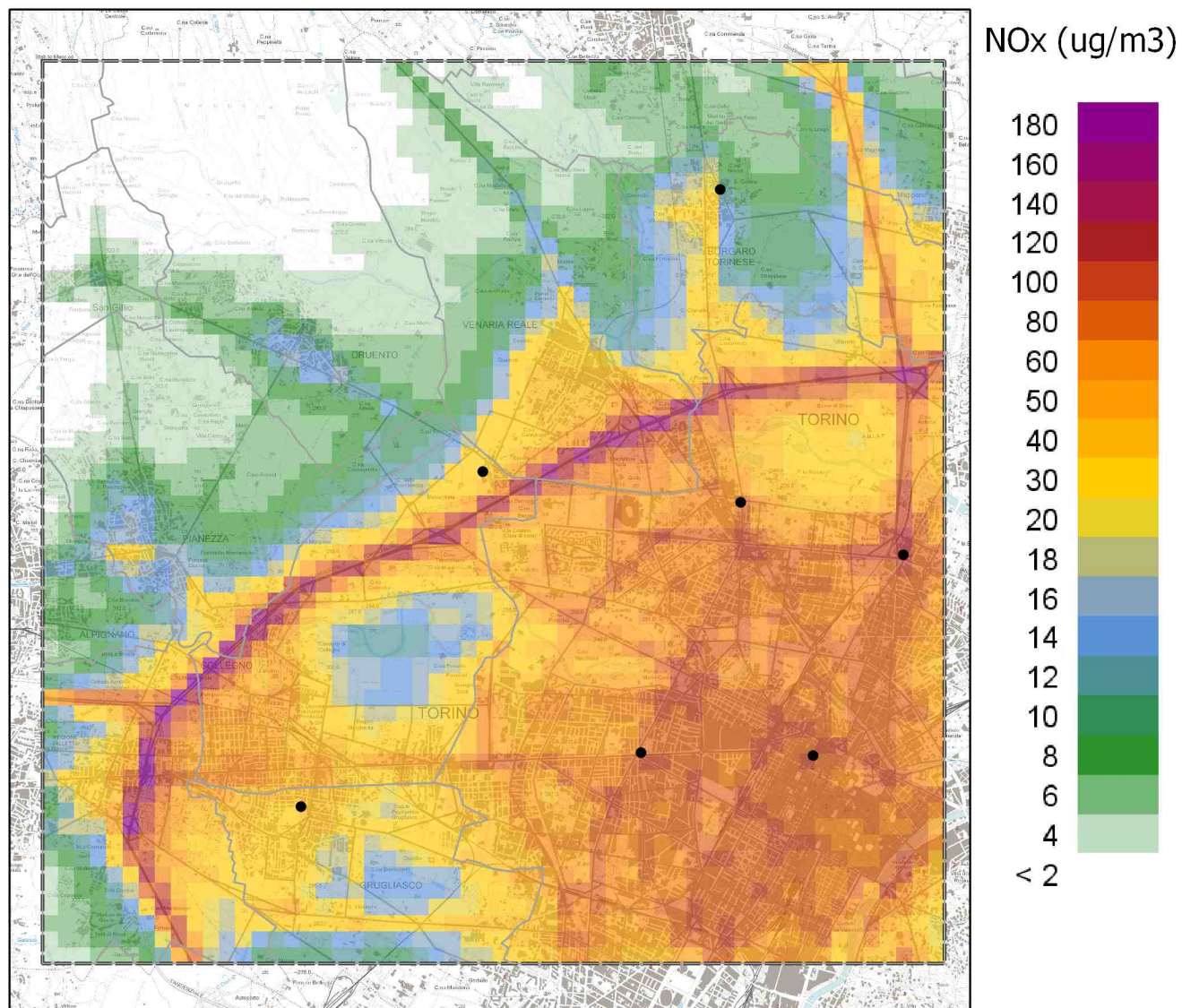


Figura A5. Ossidi di azoto (01/12/10 ÷ 28/02/11): concentrazioni medie per la somma dei contributi e posizioni delle stazioni di qualità dell'aria

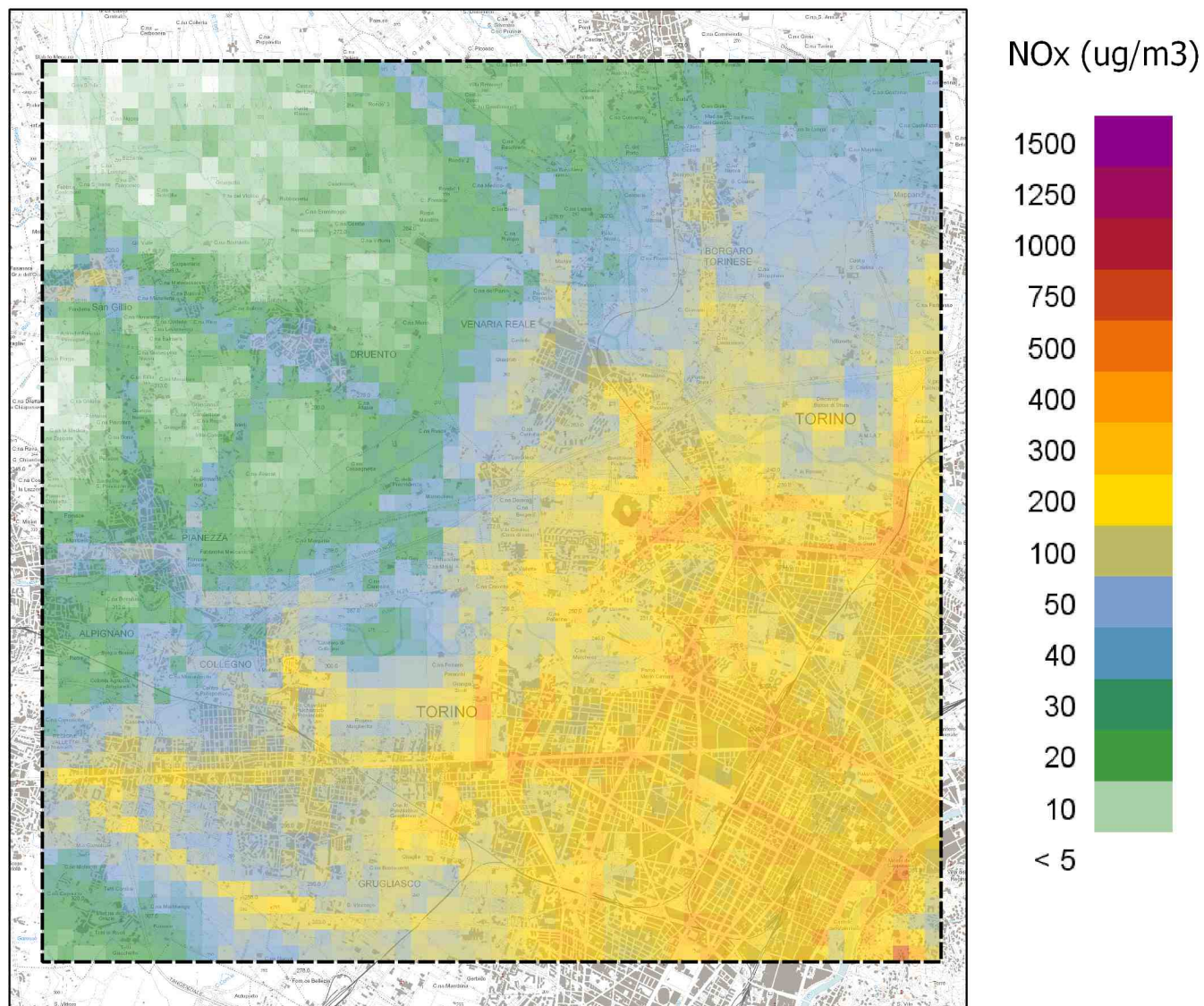


Figura A6. Ossidi di azoto (01/12/10 ÷ 28/02/11): concentrazioni massime medie orarie del traffico urbano ed extraurbano

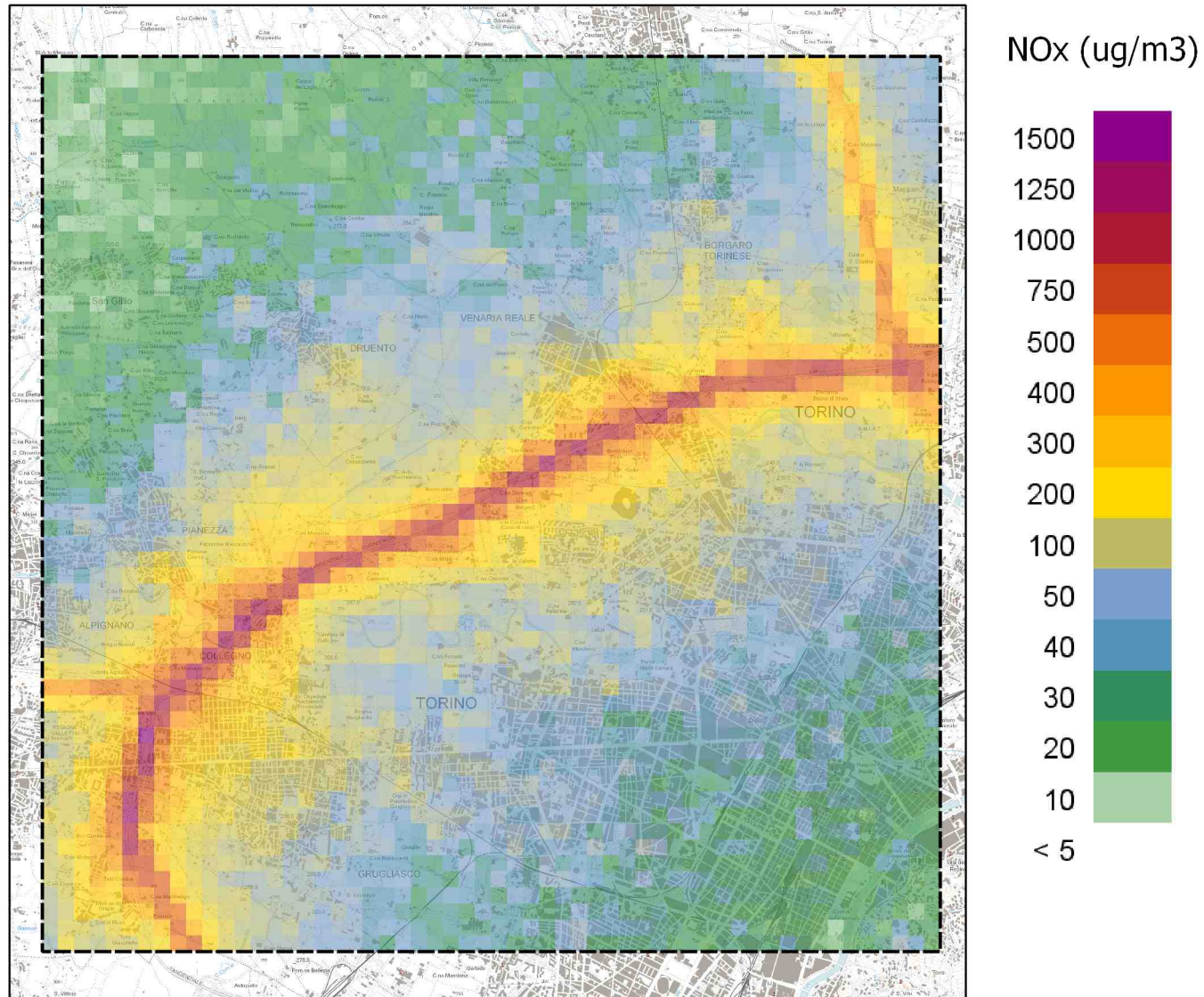


Figura A7. Ossidi di azoto (01/12/10 ÷ 28/02/11): concentrazioni massime medie orarie del traffico autostradale

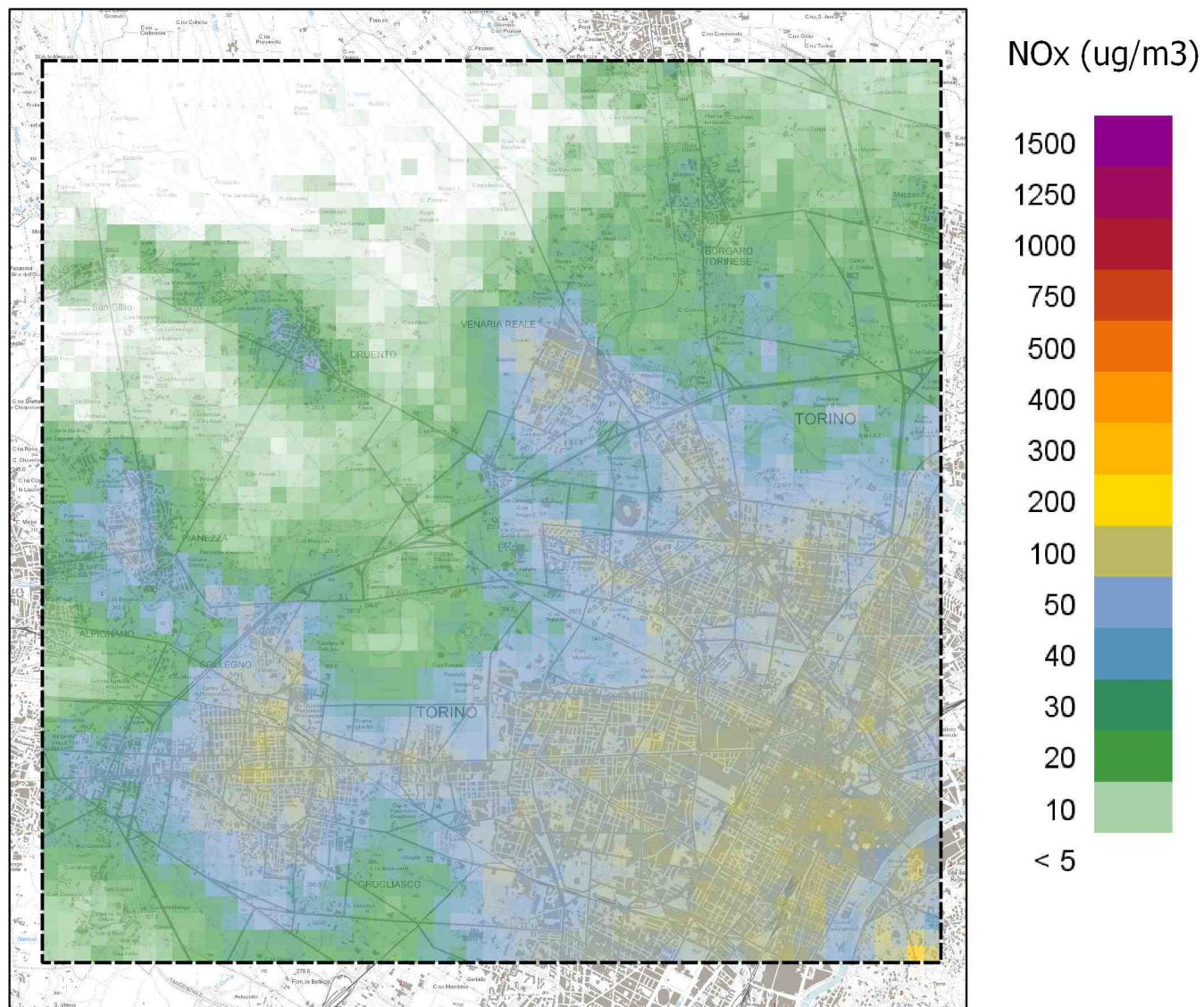


Figura A8. Ossidi di azoto (01/12/10 ÷ 28/02/11): concentrazioni massime medie orarie del riscaldamento civile

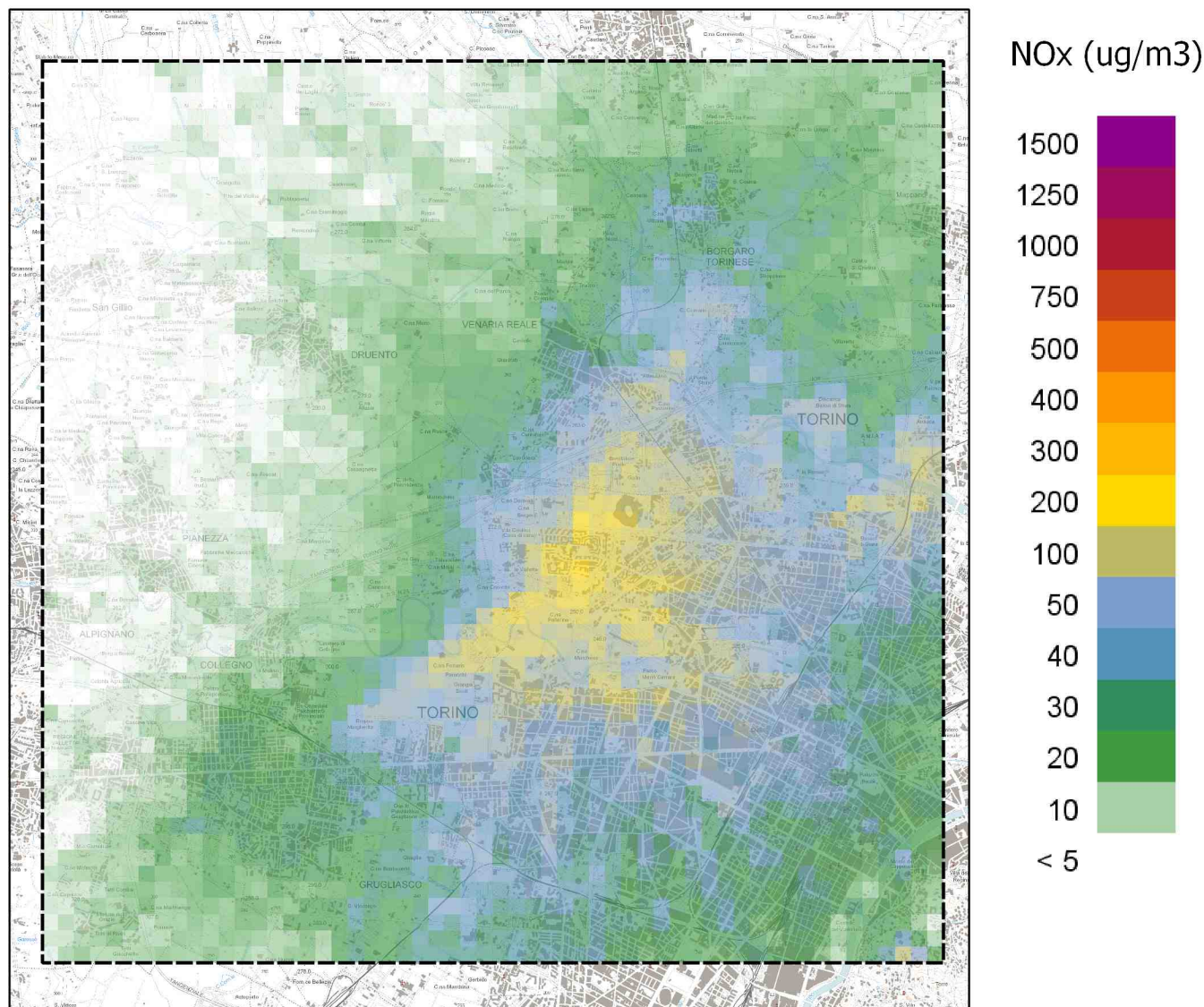


Figura A9. Ossidi di azoto (01/12/10 ÷ 28/02/11): concentrazioni massime medie orarie degli impianti industriali

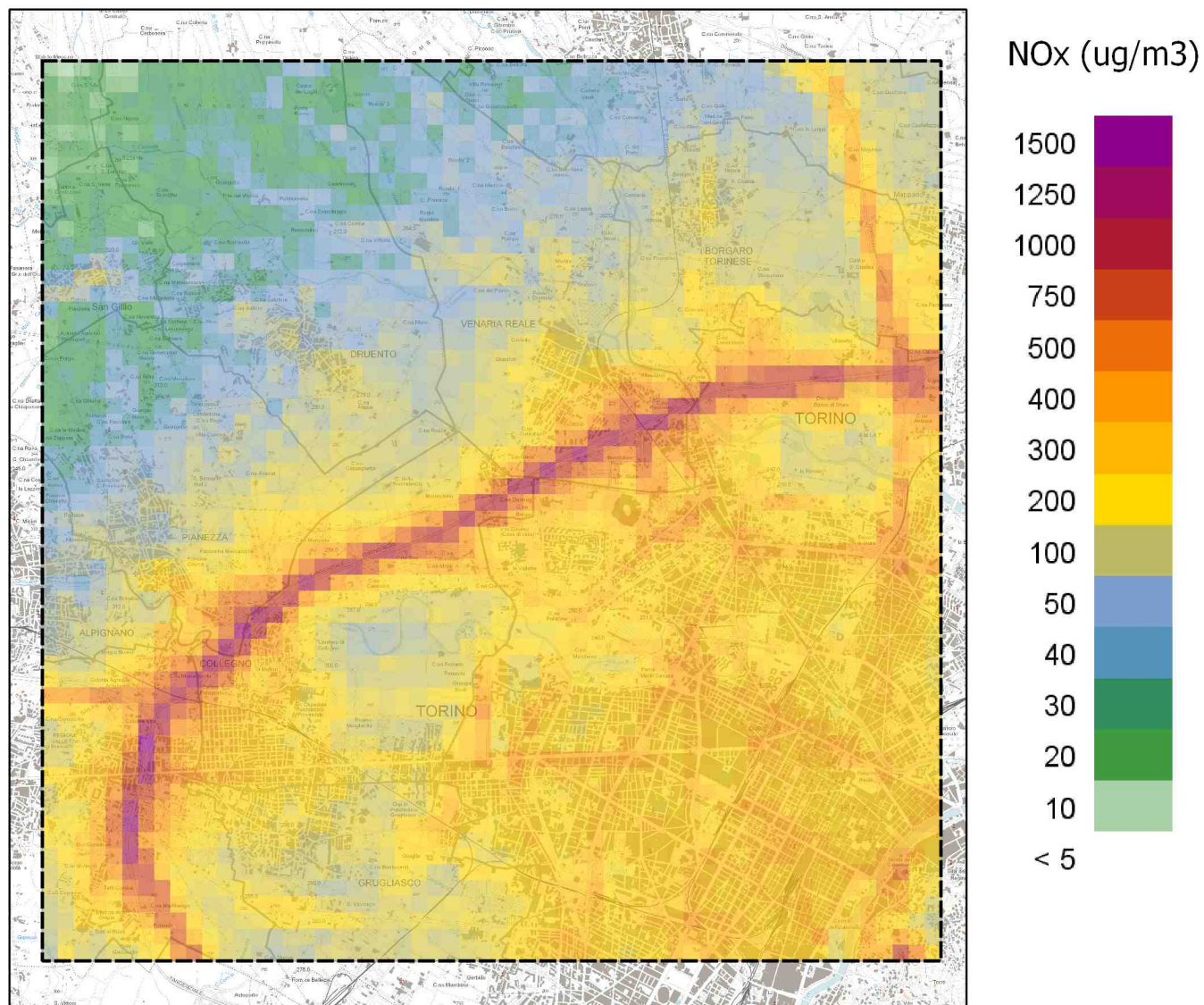


Figura A10. Ossidi di azoto (01/12/10 ÷ 28/02/11): concentrazioni massime medie orarie per la somma dei contribuiti

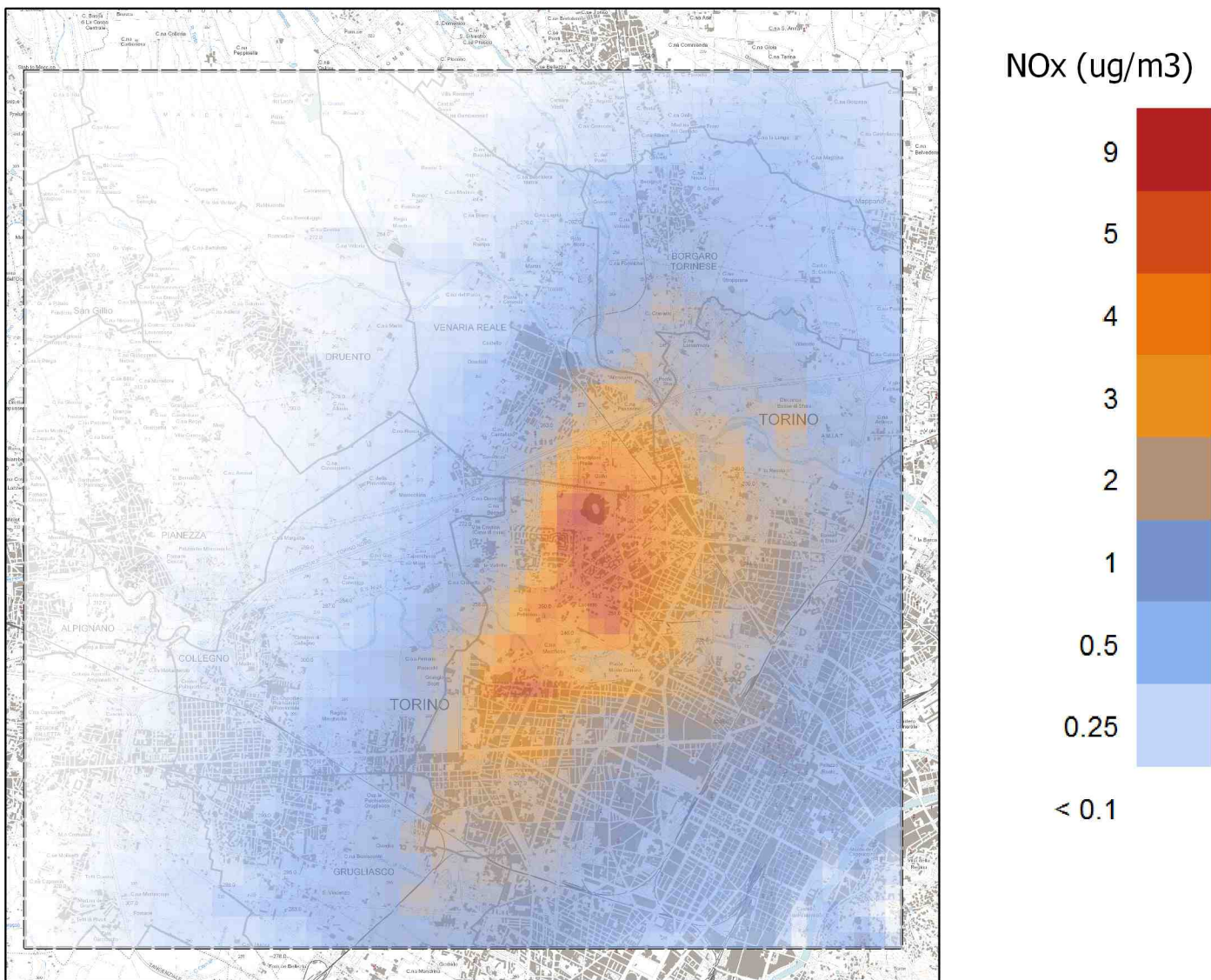


Figura A11. Ossidi di azoto (01/12/10 ÷ 28/02/11): concentrazioni medie Centrale IRIDE Le Vallette

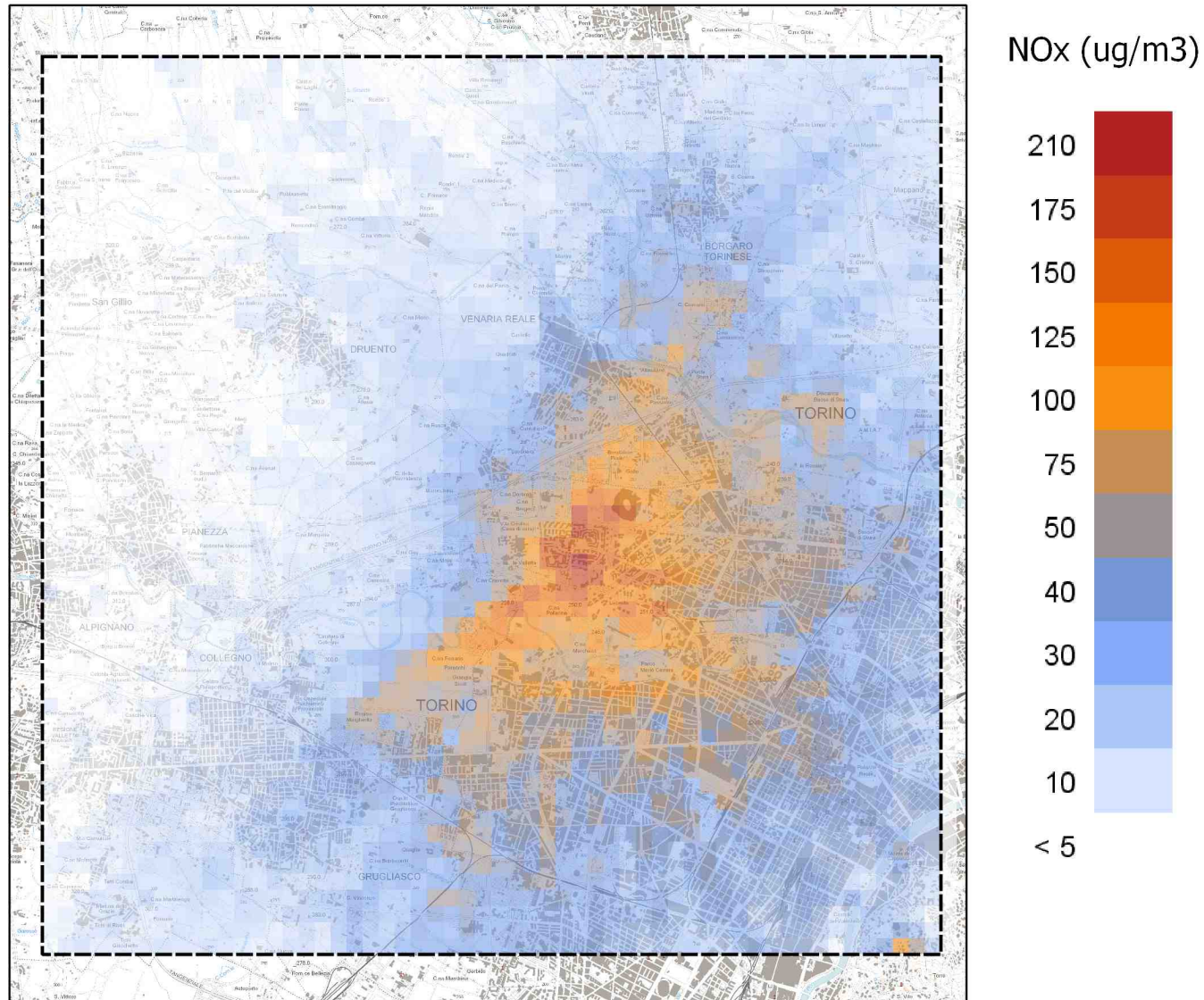
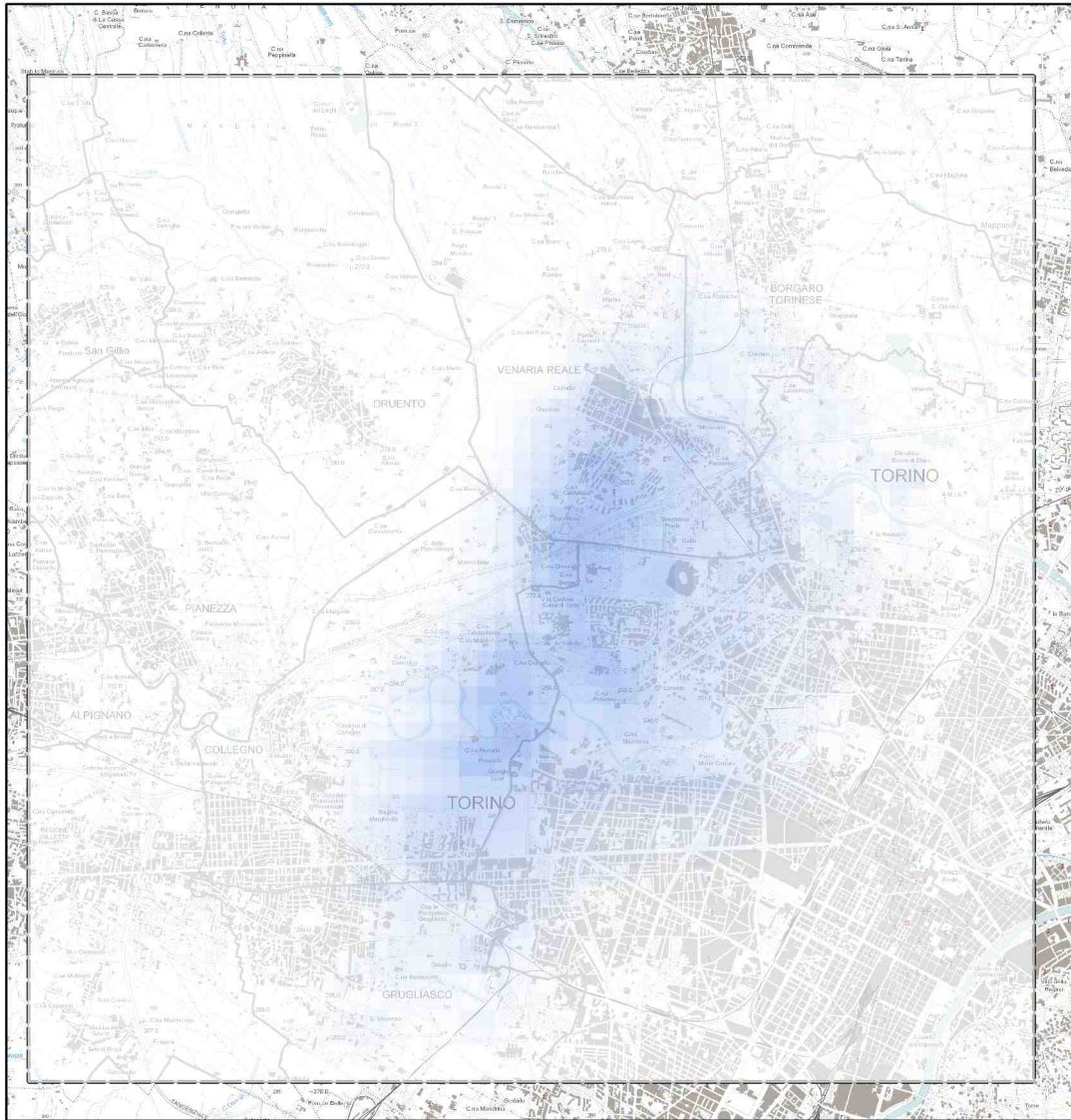


Figura A12. Ossidi di azoto (01/12/10 ÷ 28/02/11): concentrazioni massime orarie Centrale IRIDE Le Vallette



NOx (ug/m3)

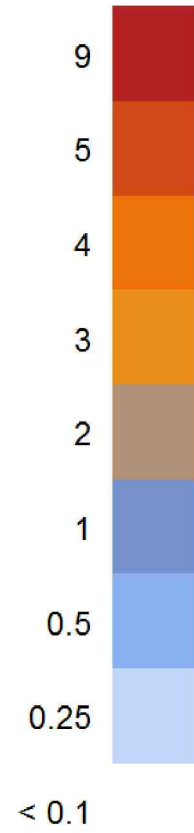


Figura A13 (01/12/10 ÷ 28/02/11): Ossidi di azoto: concentrazioni medie Centrale Torino Nord

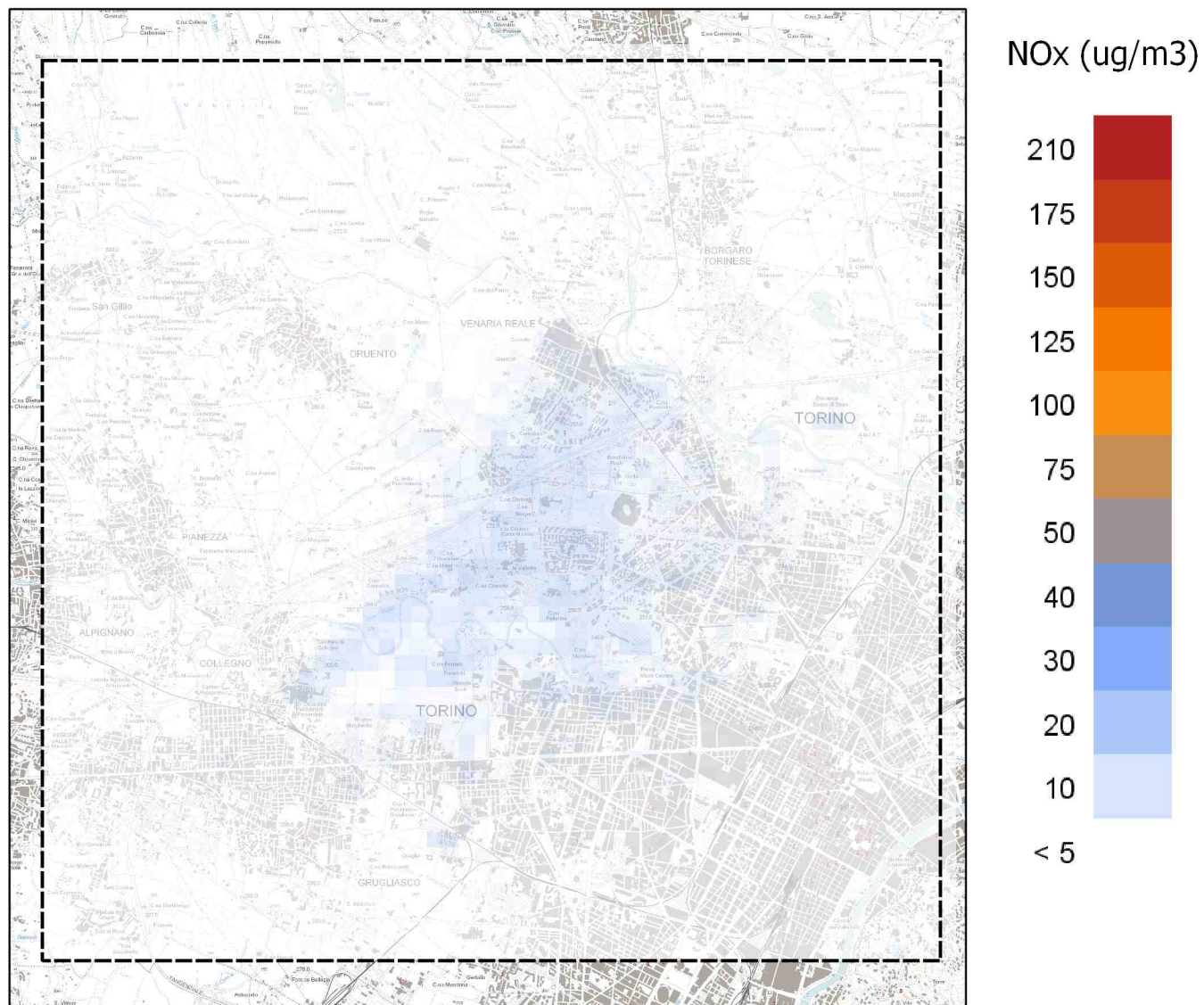


Figura A14. Ossidi di azoto (01/12/10 ÷ 28/02/11): concentrazioni massime orarie Centrale Torino Nord

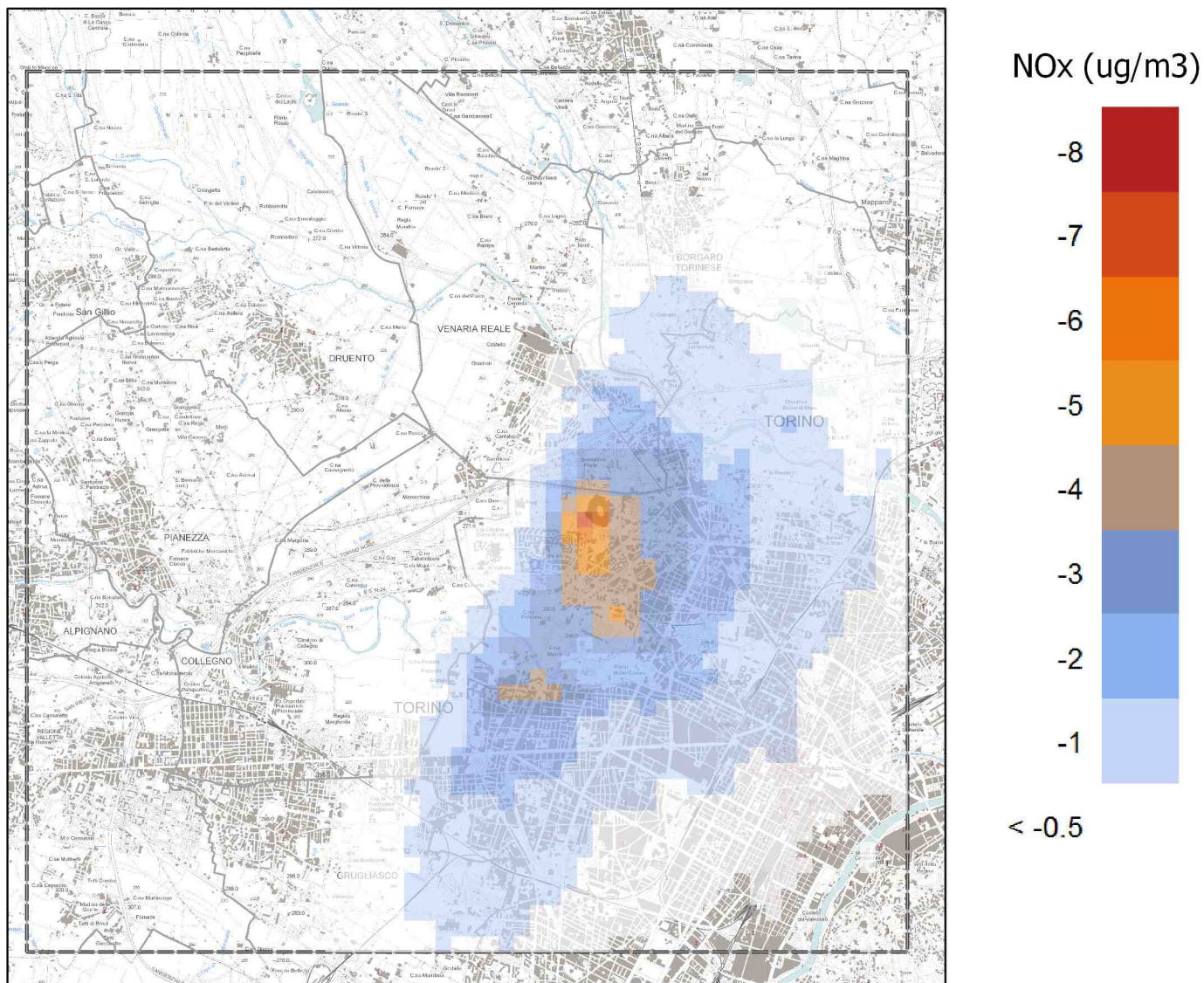


Figura A15. Ossidi di azoto (01/12/10 ÷ 28/02/11): differenza fra le concentrazioni medie della Centrale Torino Nord e della Centrale IRIDE Le Vallette

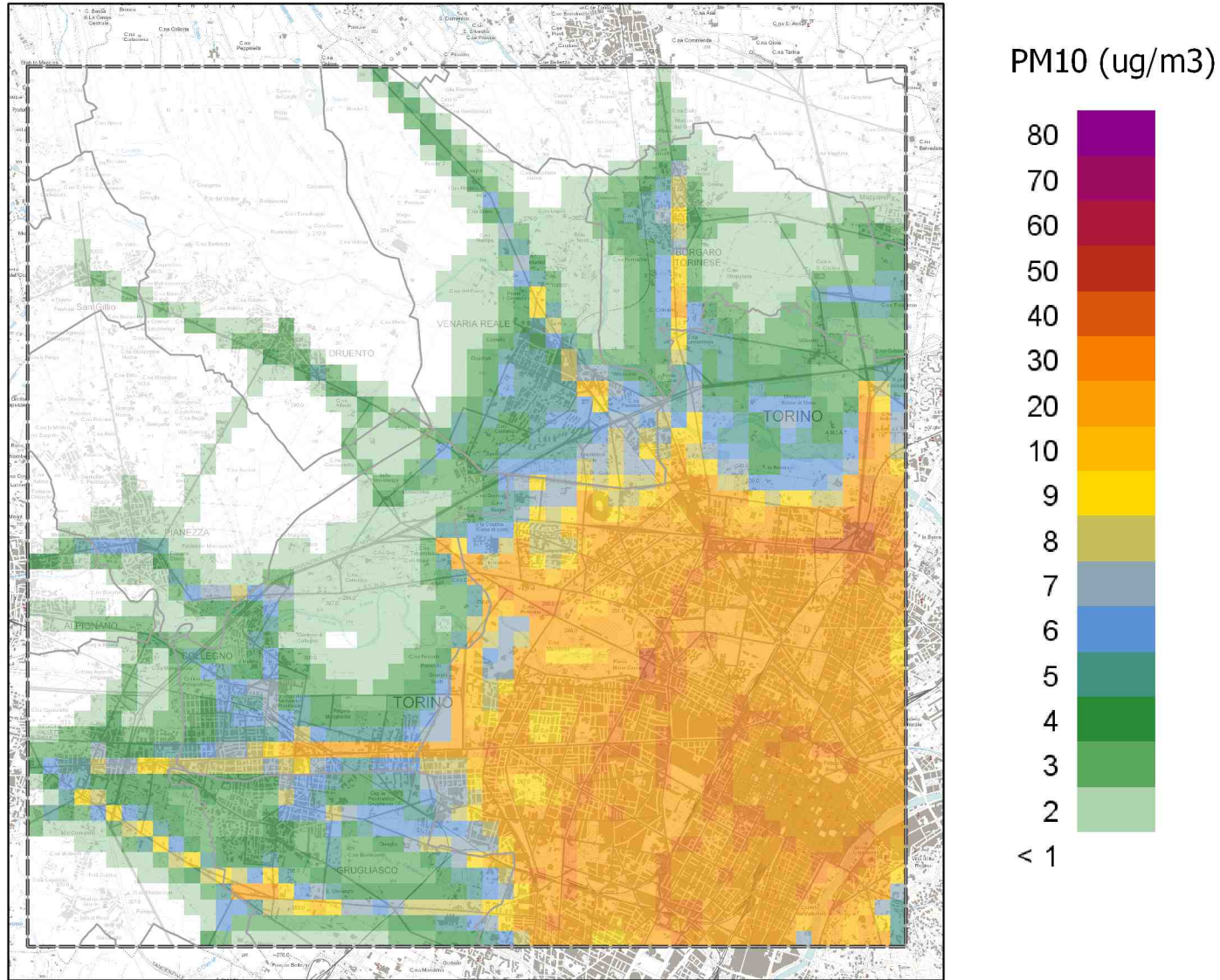


Figura A16. Particolato PM10 (01/12/10 ÷ 28/02/11): concentrazioni medie del traffico urbano ed extraurbano

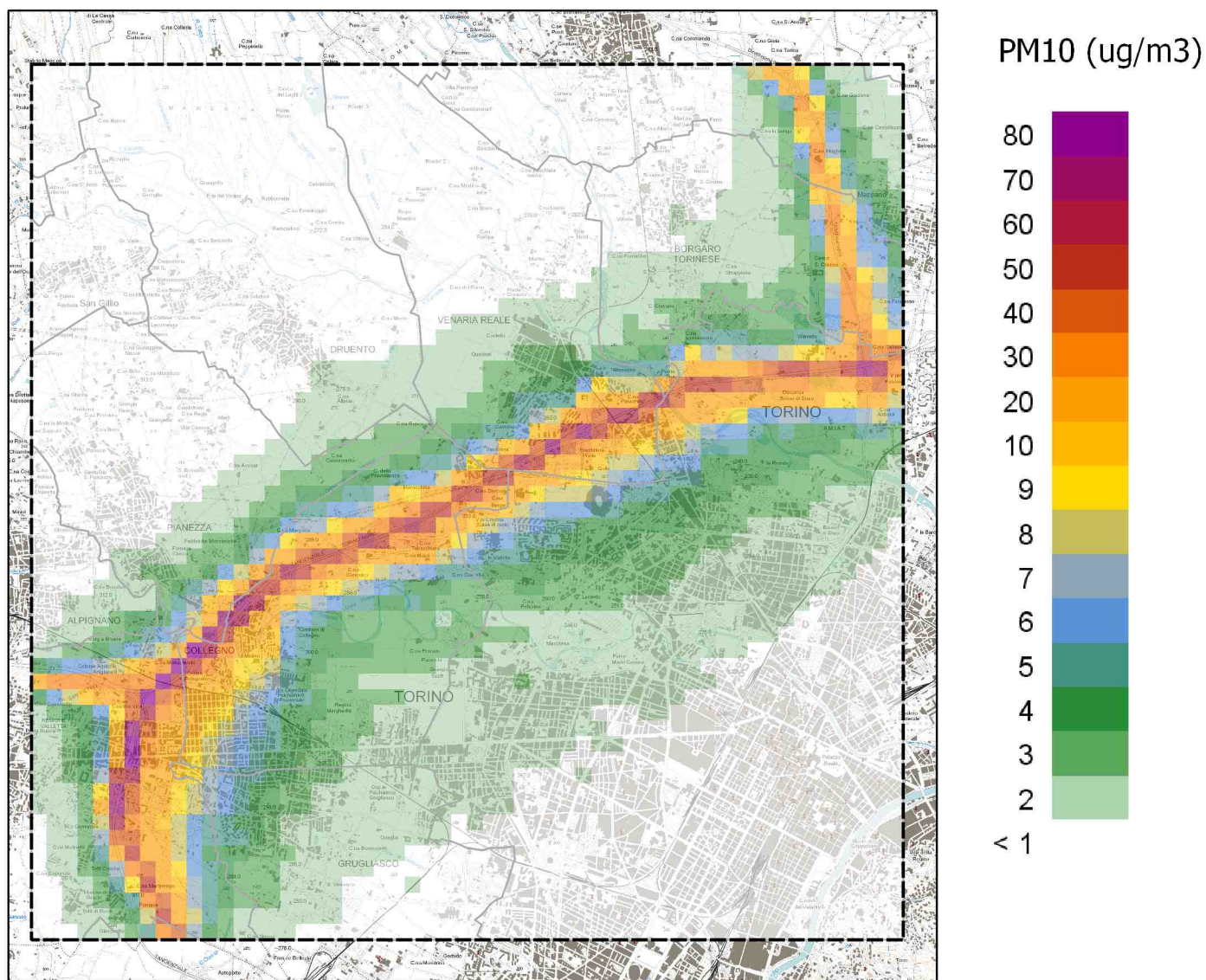


Figura A17. Particolato PM10 (01/12/10 ÷ 28/02/11): concentrazioni medie del traffico autostradale

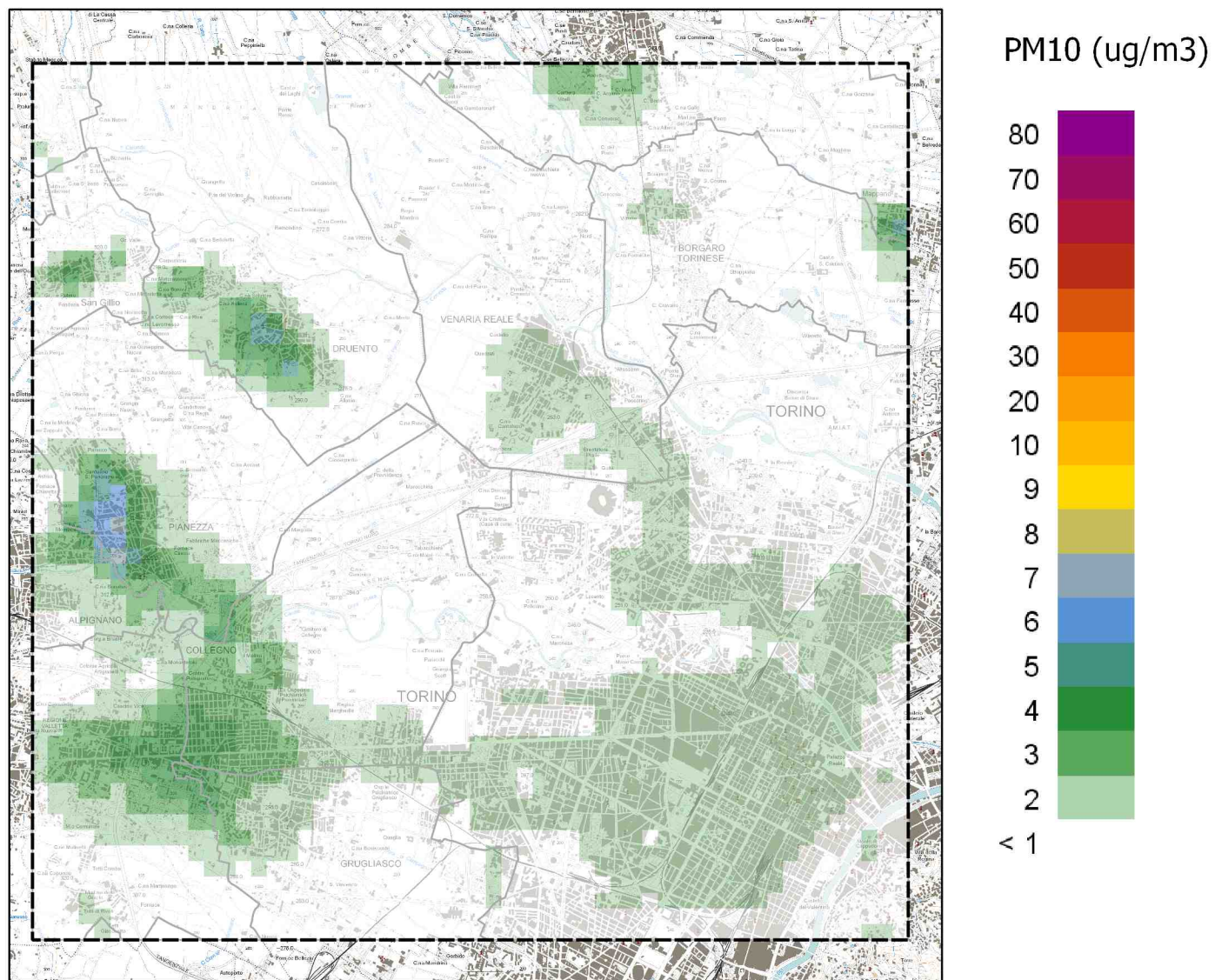


Figura A18. Particolato PM10 (01/12/10 ÷ 28/02/11): concentrazioni medie del riscaldamento civile

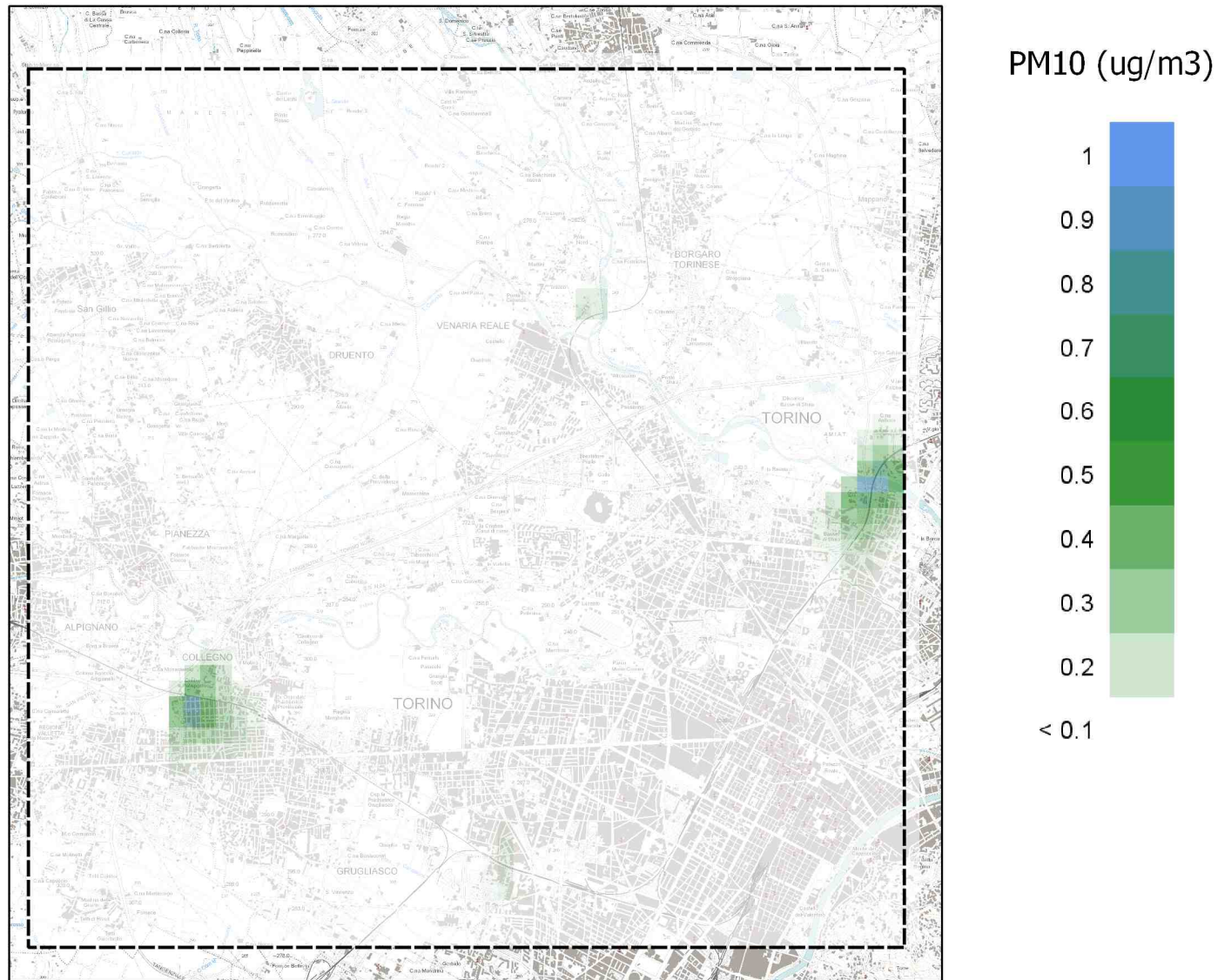


Figura A19. Particolato PM10 (01/12/10 ÷ 28/02/11): concentrazioni medie degli impianti industriali

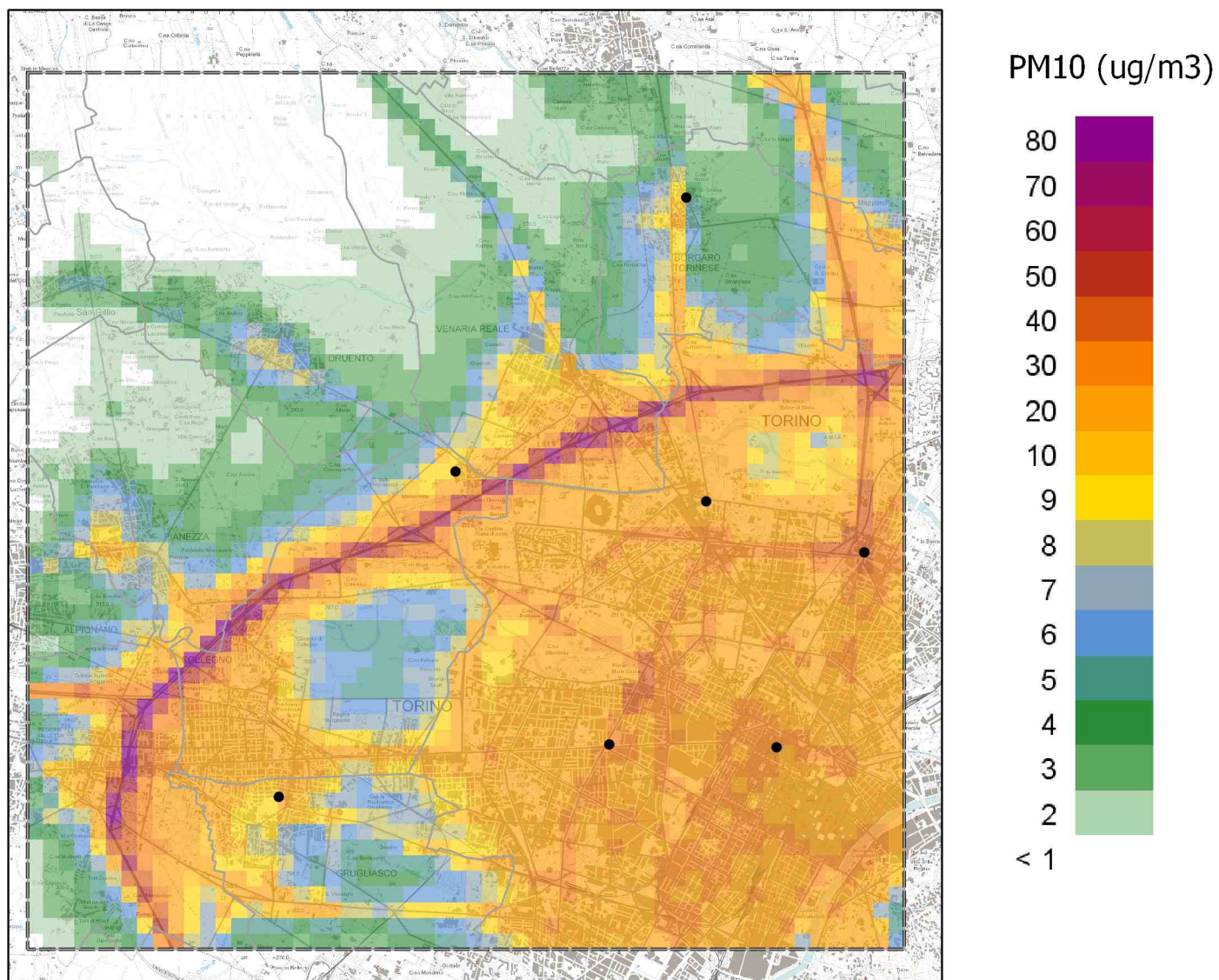


Figura A20. Particolato PM10 (01/12/10 ÷ 28/02/11): concentrazioni medie per la somma dei contributi e posizioni delle stazioni di qualità dell'aria

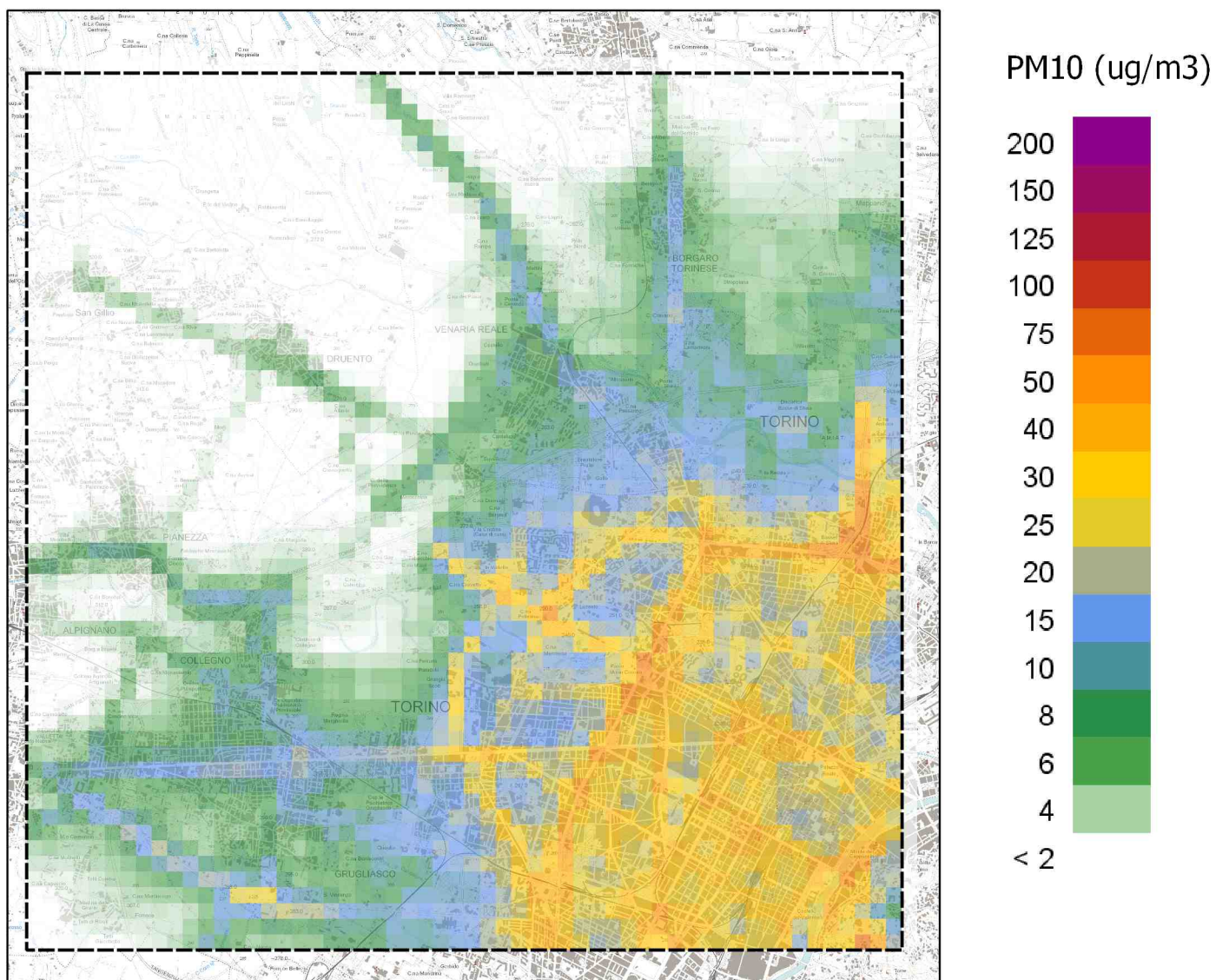


Figura A21. Particolato PM10 (01/12/10 ÷ 28/02/11): concentrazioni massime medie giornaliere del traffico urbano ed extraurbano

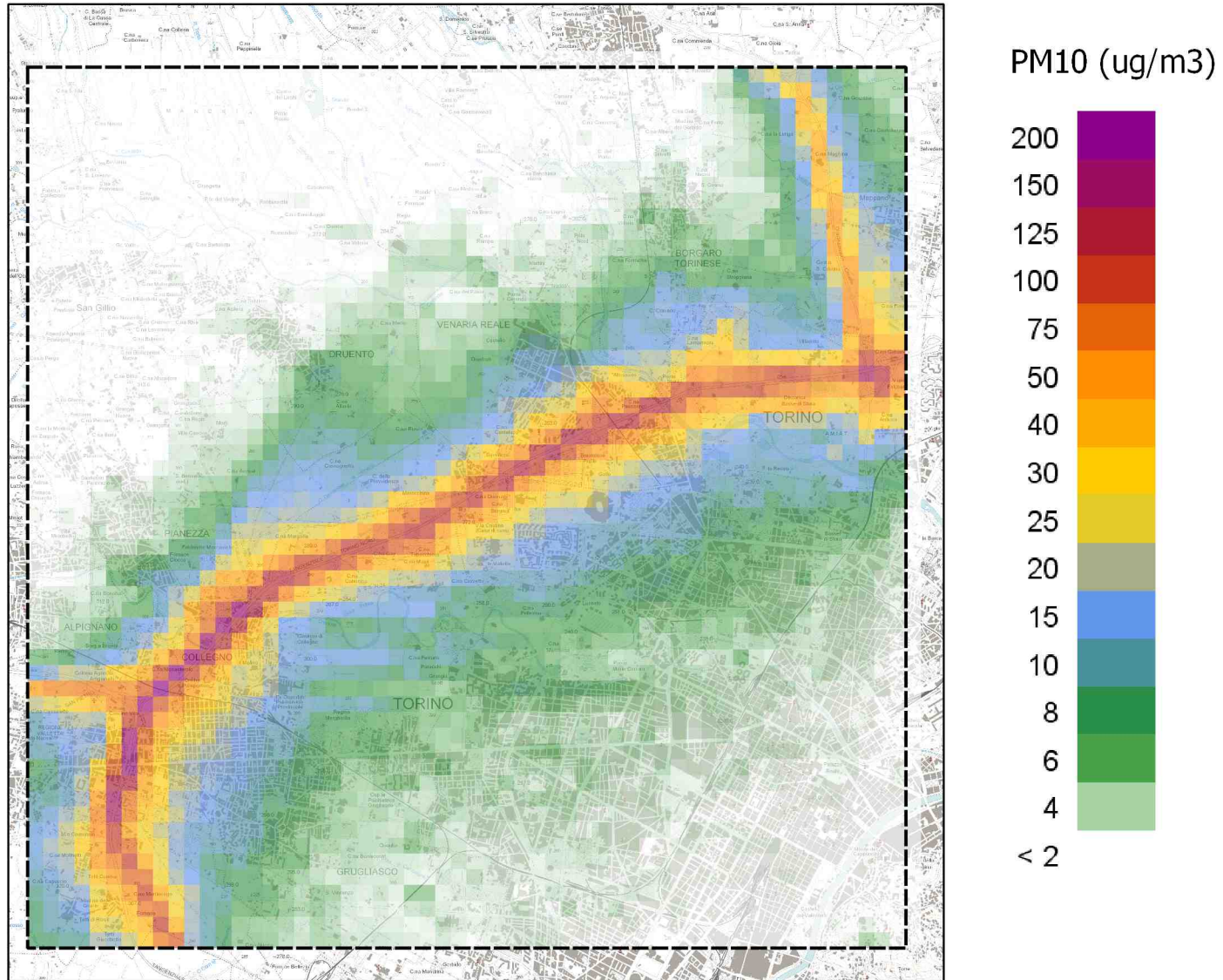


Figura A22. Particolato PM10 (01/12/10 ÷ 28/02/11): concentrazioni massime medie giornaliere del traffico autostradale

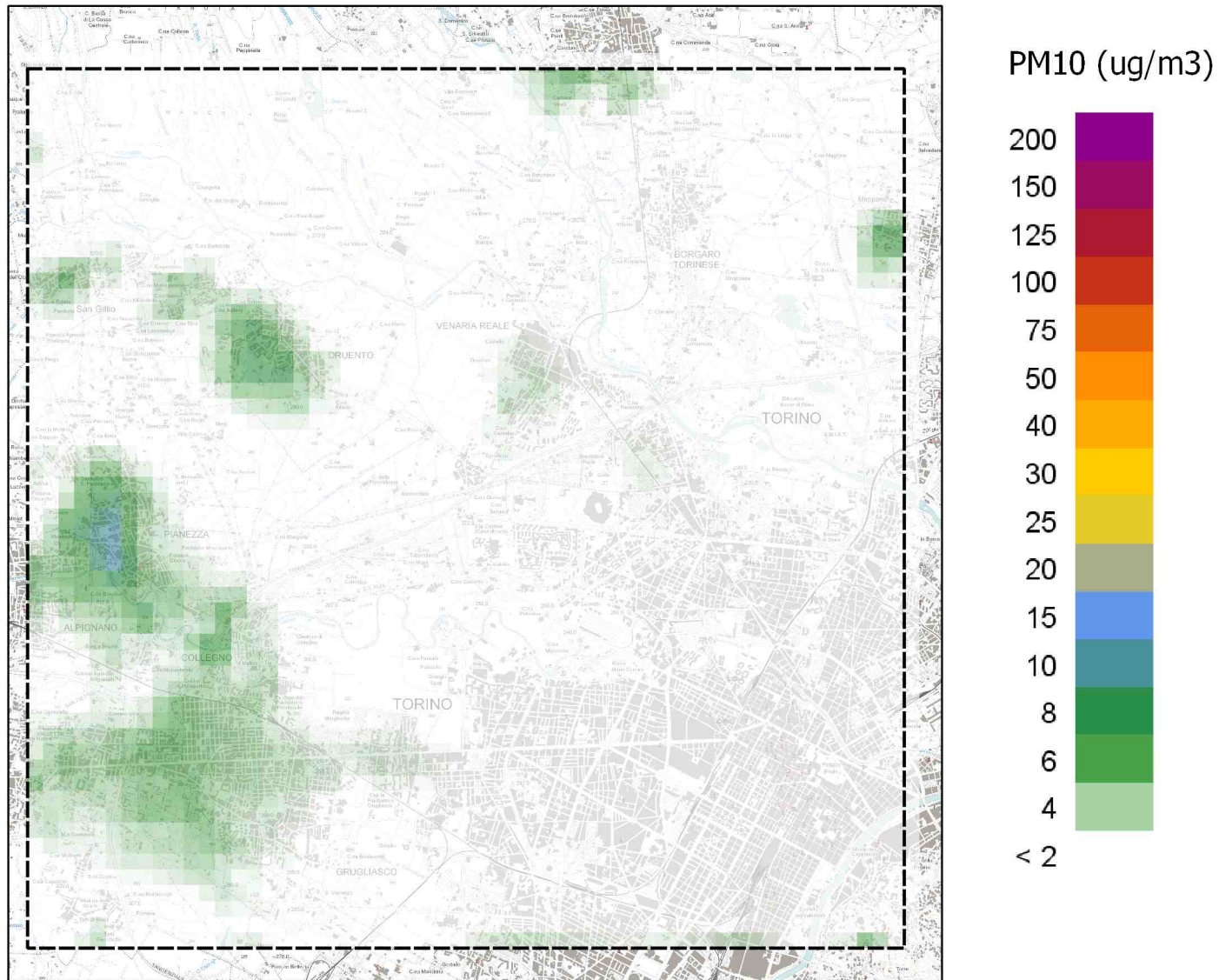


Figura A23. Particolato PM10 (01/12/10 ÷ 28/02/11): concentrazioni massime medie giornaliere del riscaldamento civile

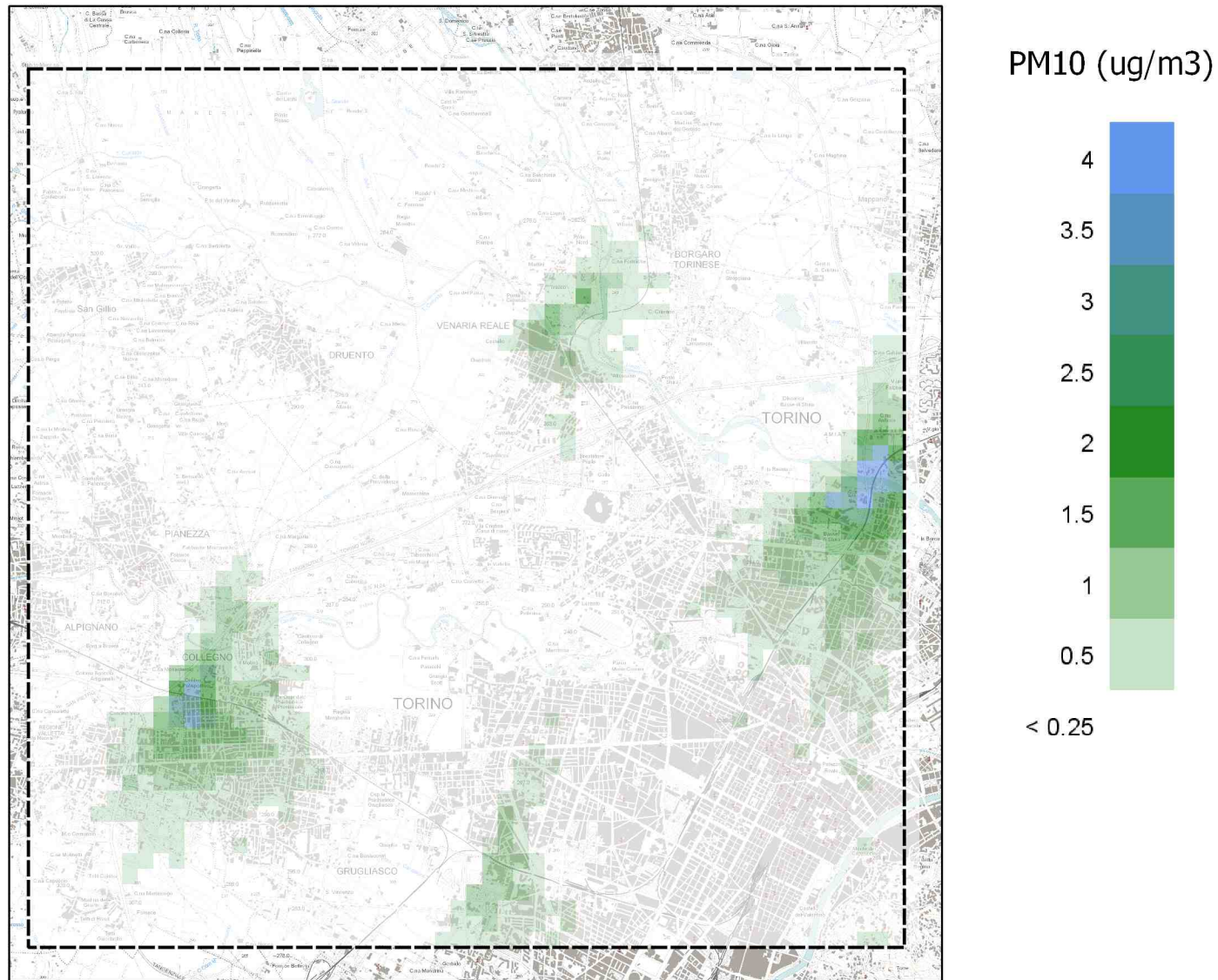


Figura A24. Particolato PM10 (01/12/10 ÷ 28/02/11): concentrazioni massime medie giornaliere degli impianti industriali

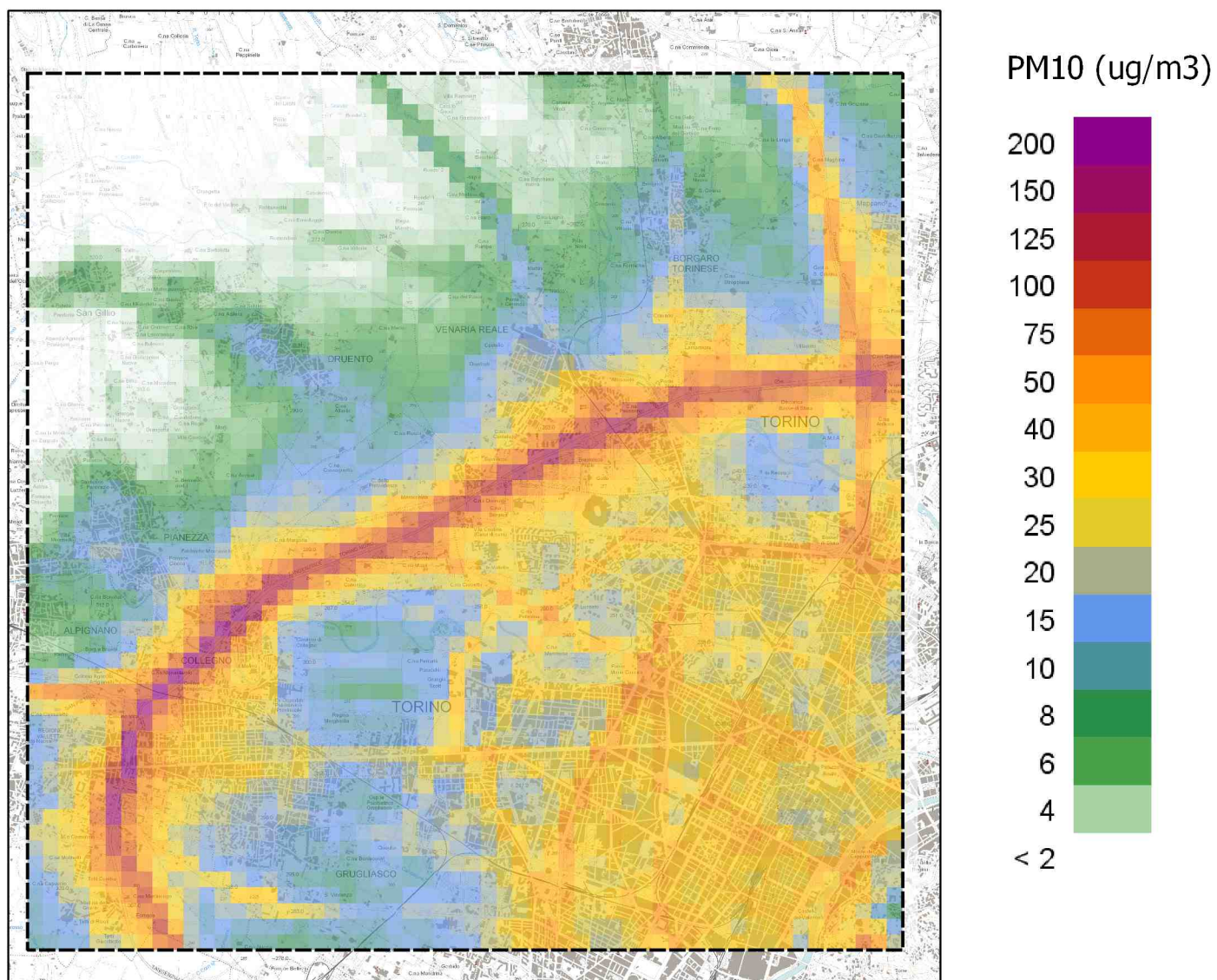


Figura A25. Particolato PM10 (01/12/10 ÷ 28/02/11): concentrazioni massime medie giornaliere della somma dei contributi

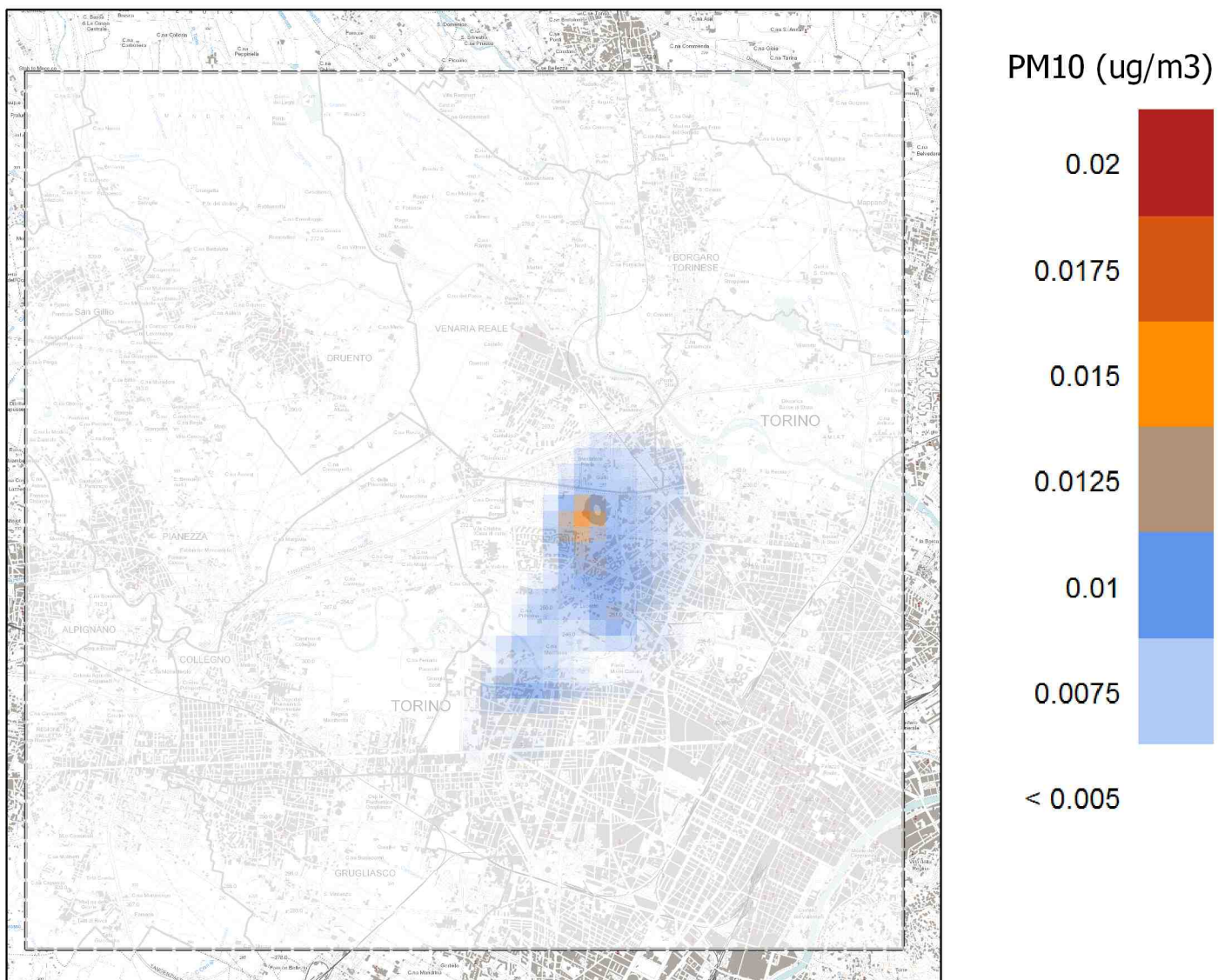


Figura A26. Particolato PM10 (01/12/10 ÷ 28/02/11): concentrazioni medie orarie Centrale IRIDE Le Vallette

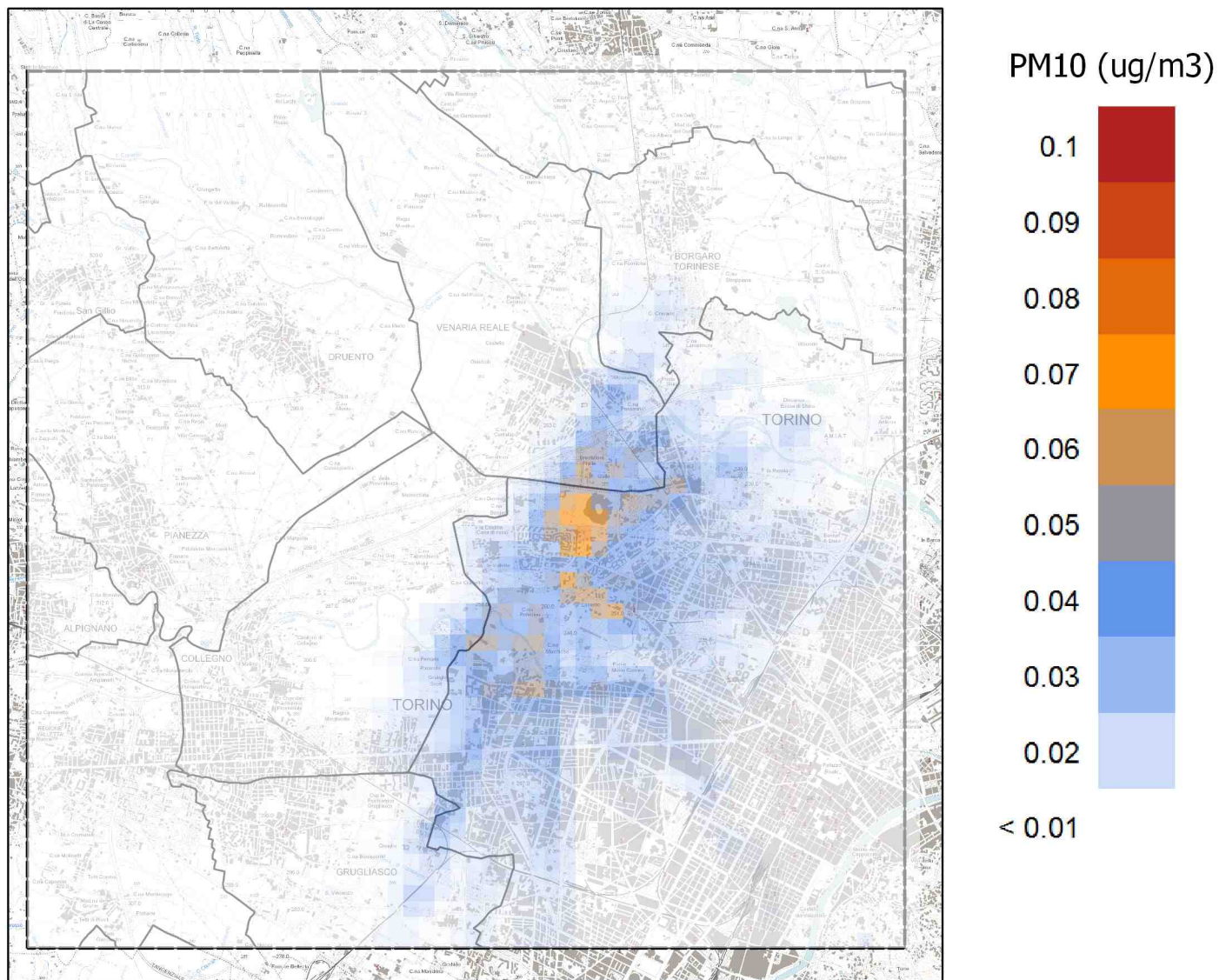


Figura A27. Particolato PM10 (01/12/10 ÷ 28/02/11): concentrazioni massime medie giornaliere Centrale IRIDE Le Vallette

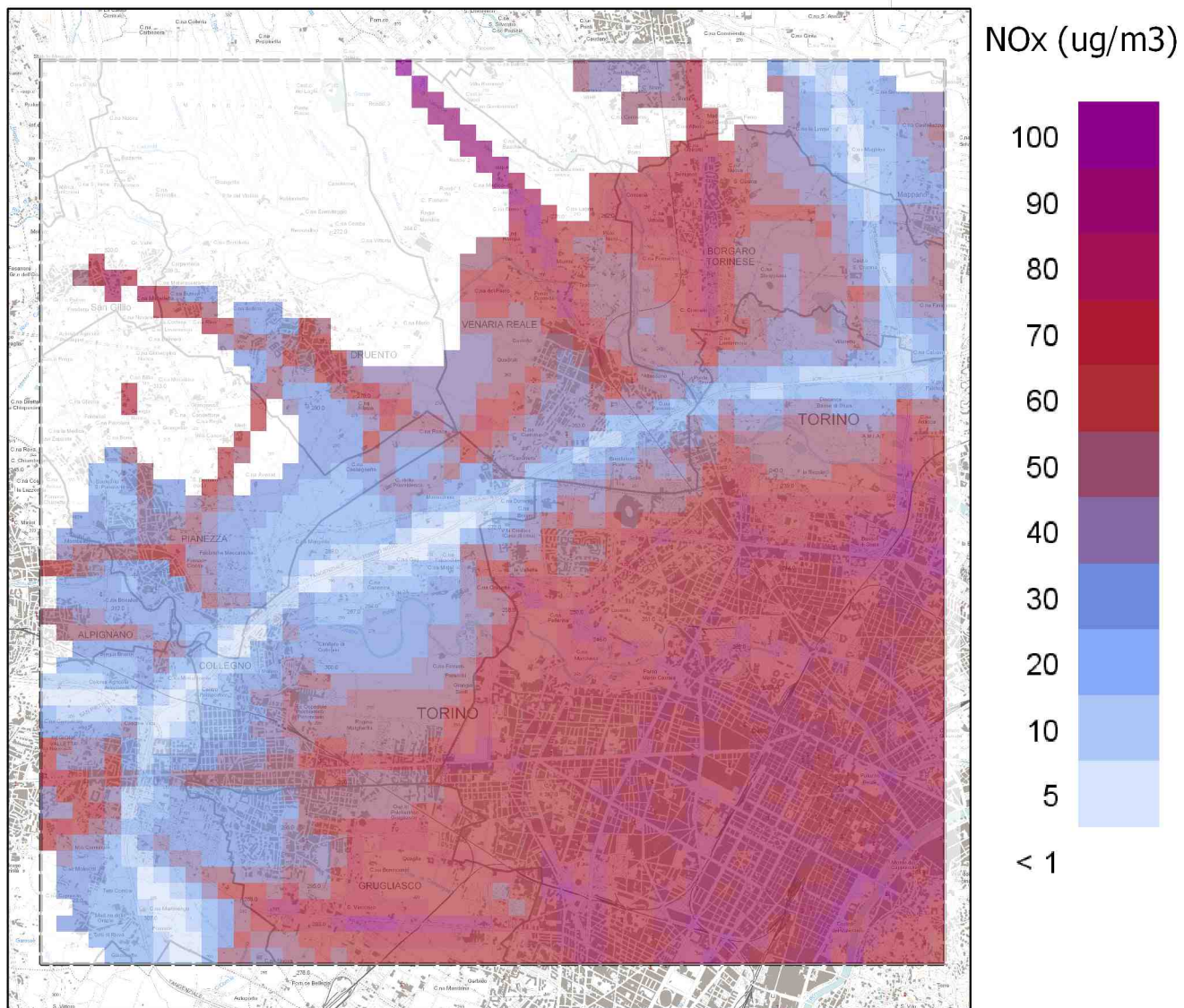


Figura A28. Ossidi di azoto (01/12/10 ÷ 28/02/11): contributo percentuale delle concentrazioni medie per il traffico urbano ed extraurbano

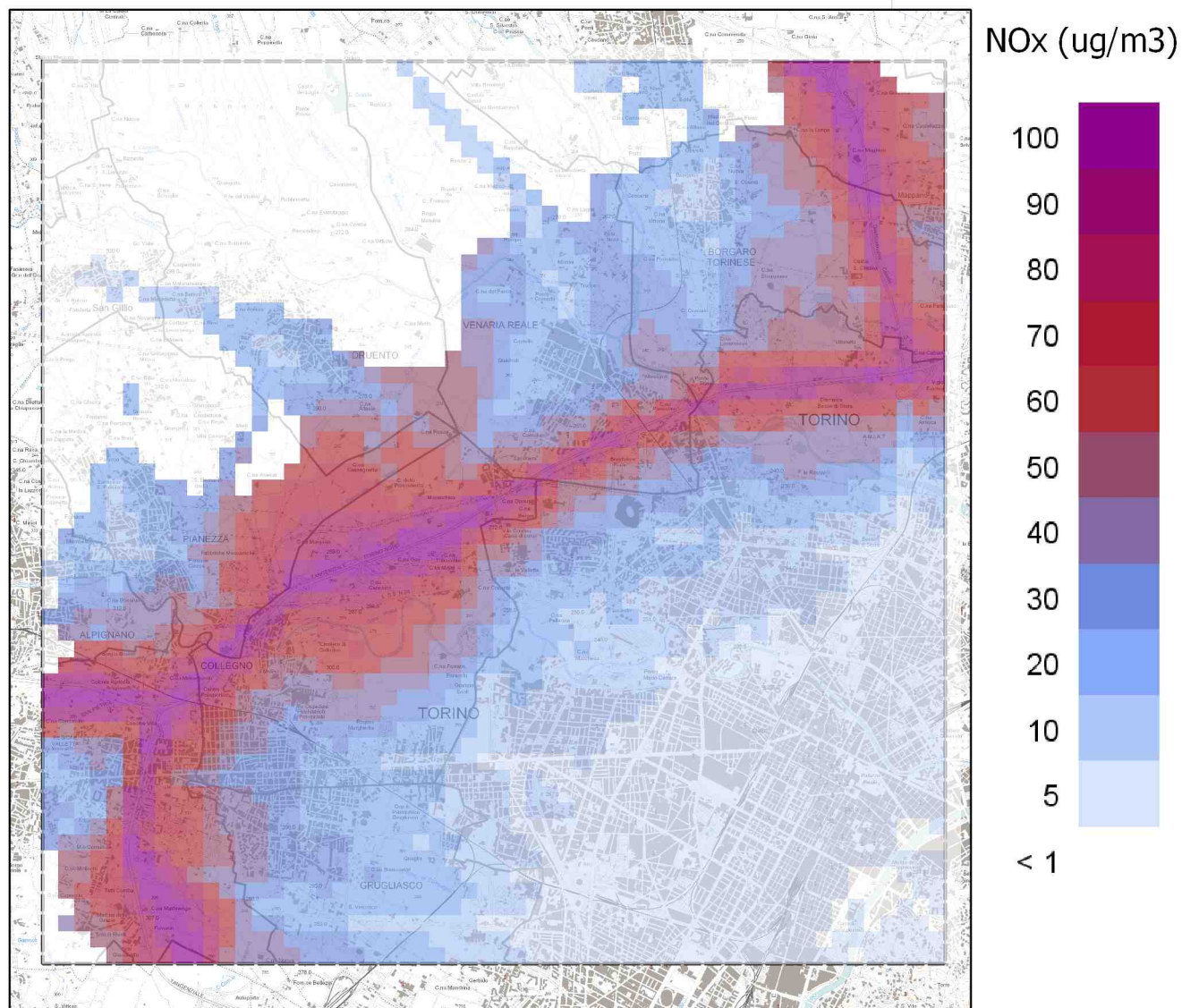


Figura A29. Ossidi di azoto (01/12/10 ÷ 28/02/11): contributo percentuale delle concentrazioni medie per il traffico autostradale

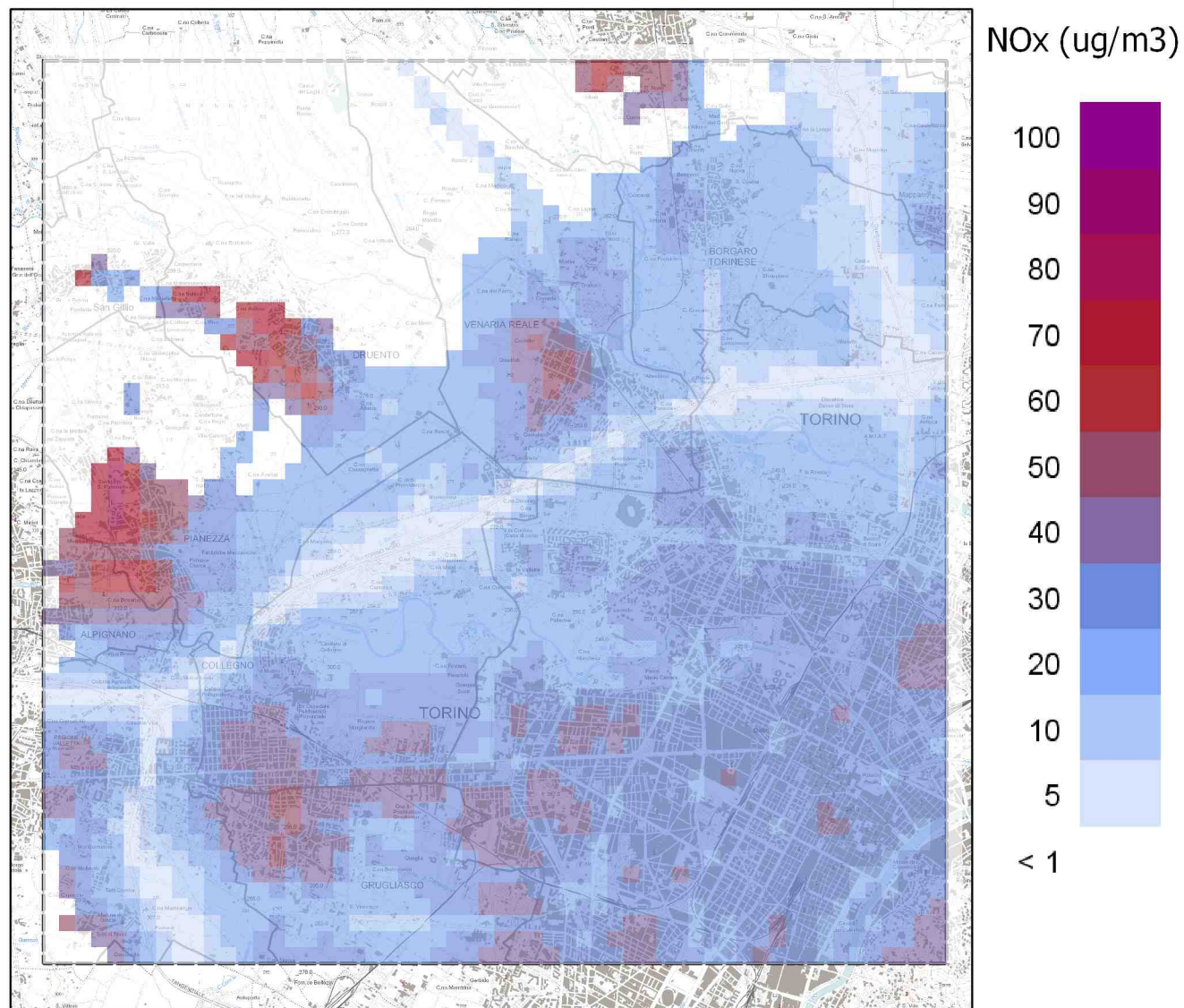


Figura A30. Ossidi di azoto (01/12/10 ÷ 28/02/11): contributo percentuale delle concentrazioni medie per il riscaldamento civile

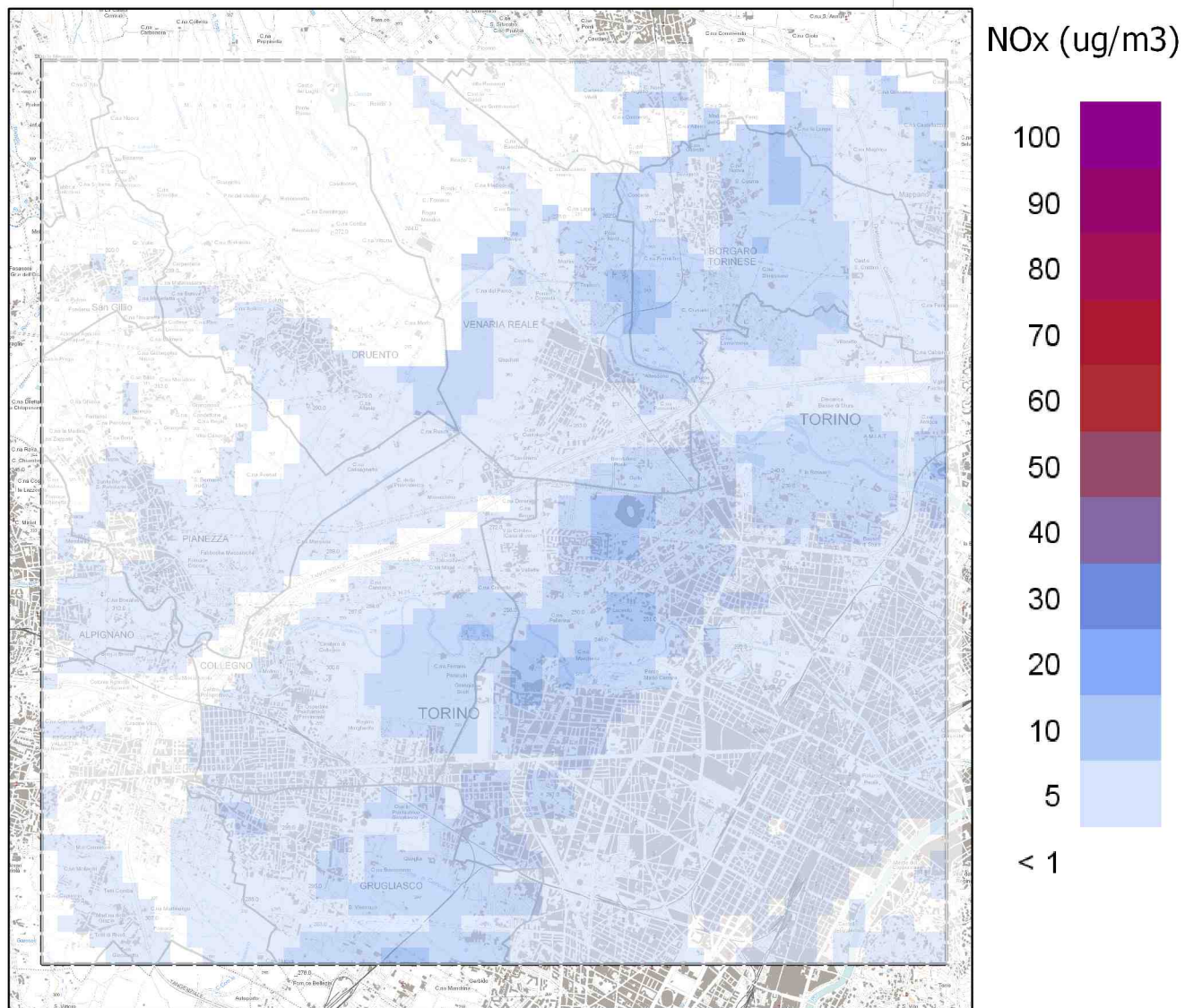


Figura A31. Ossidi di azoto (01/12/10 ÷ 28/02/11): contributo percentuale delle concentrazioni medie per gli impianti industriali

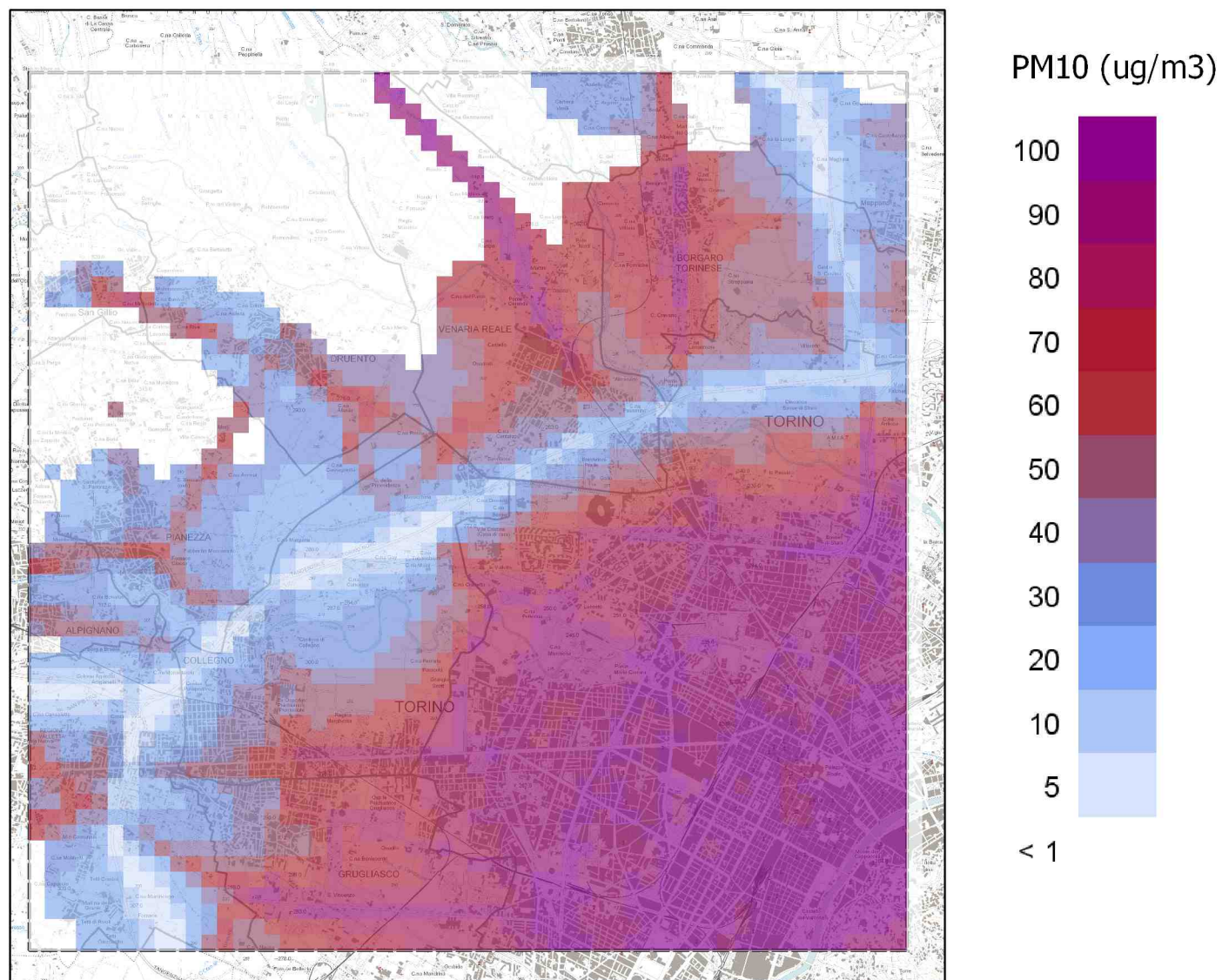


Figura A32. Particolato PM10 (01/12/10 ÷ 28/02/11): contributo percentuale delle concentrazioni medie per il traffico urbano ed extraurbano

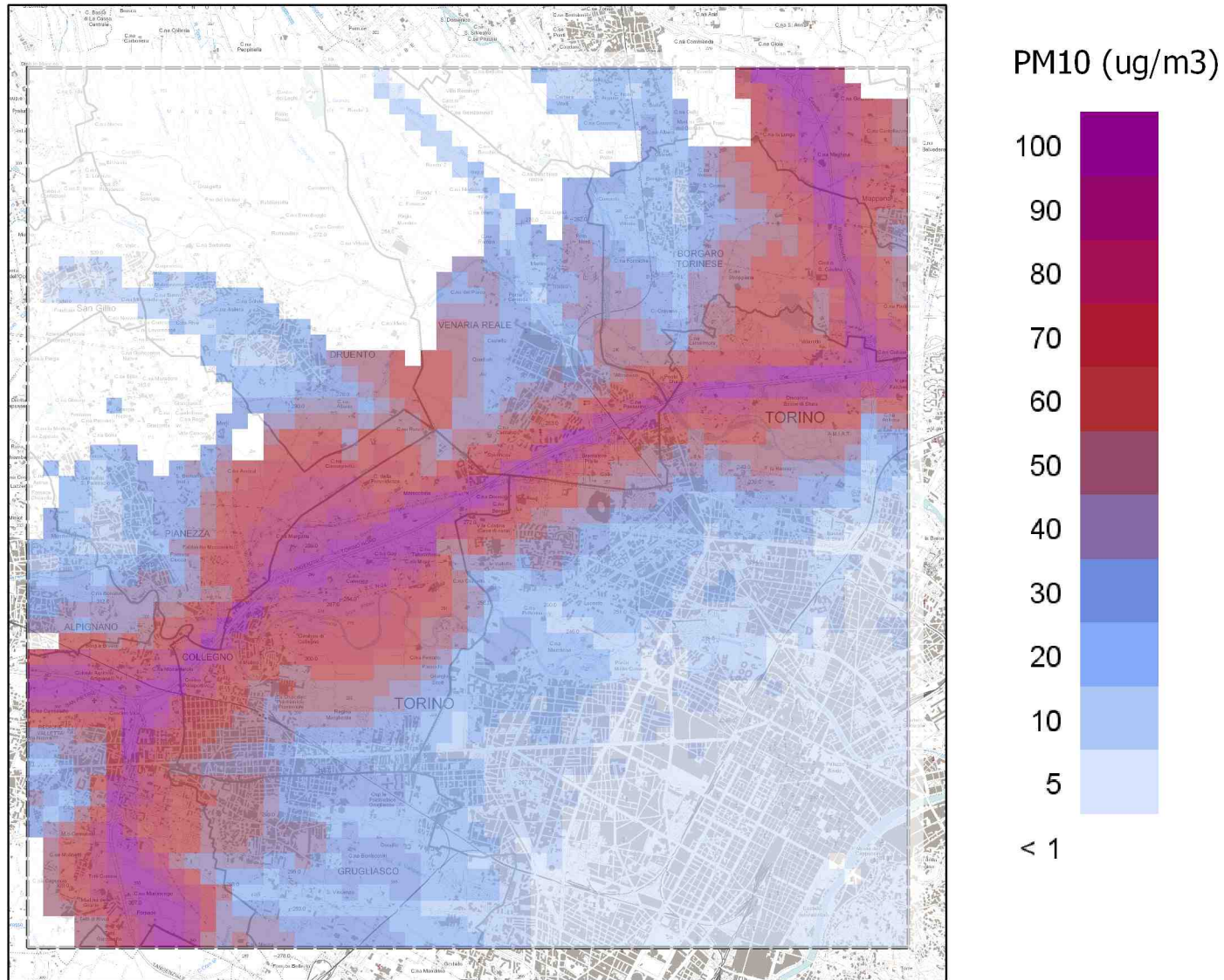


Figura A33. Particolato PM10 (01/12/10 ÷ 28/02/11): contributo percentuale delle concentrazioni medie per il traffico autostradale

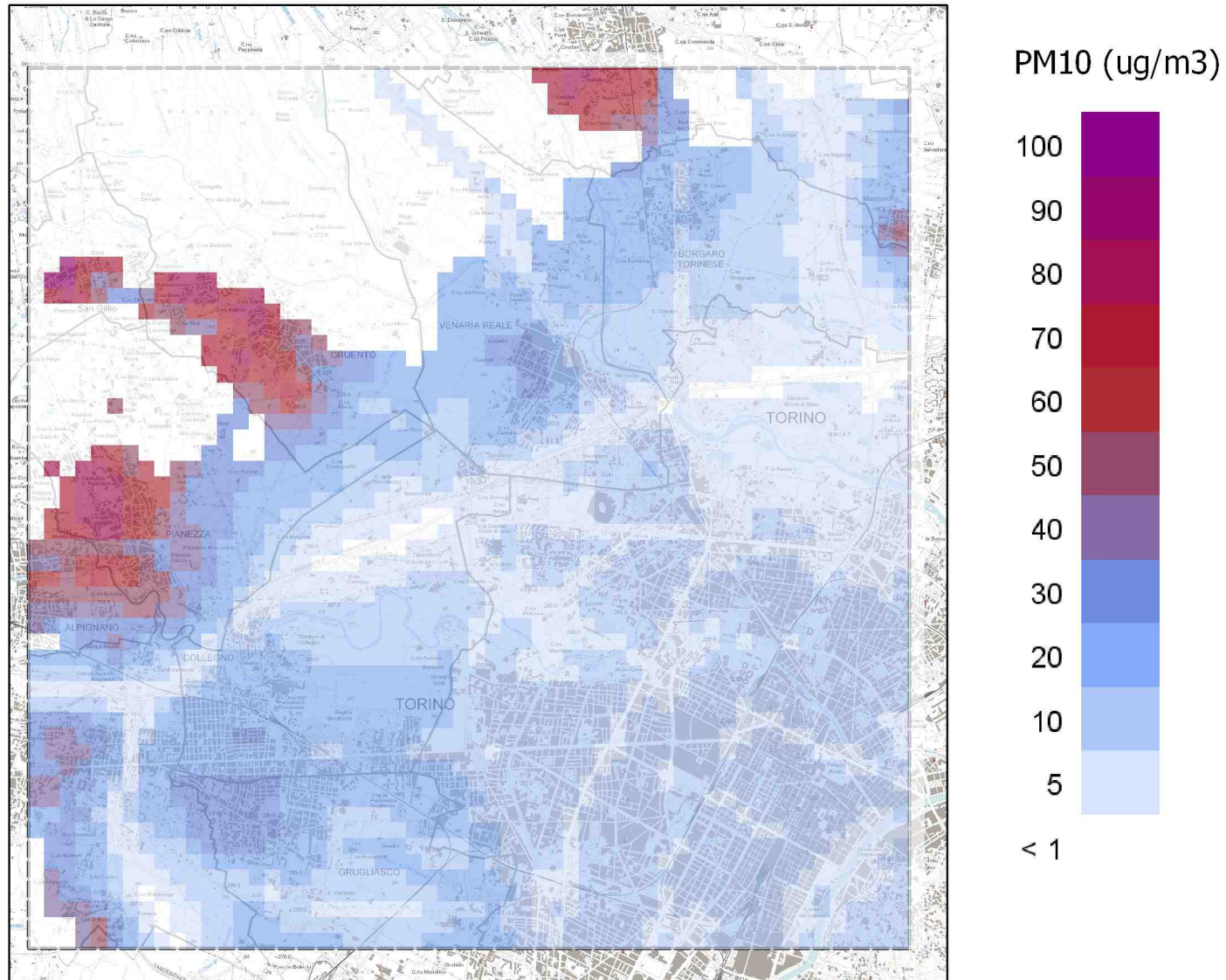


Figura A34. Particolato PM10 (01/12/10 ÷ 28/02/11): contributo percentuale delle concentrazioni medie per il riscaldamento civile

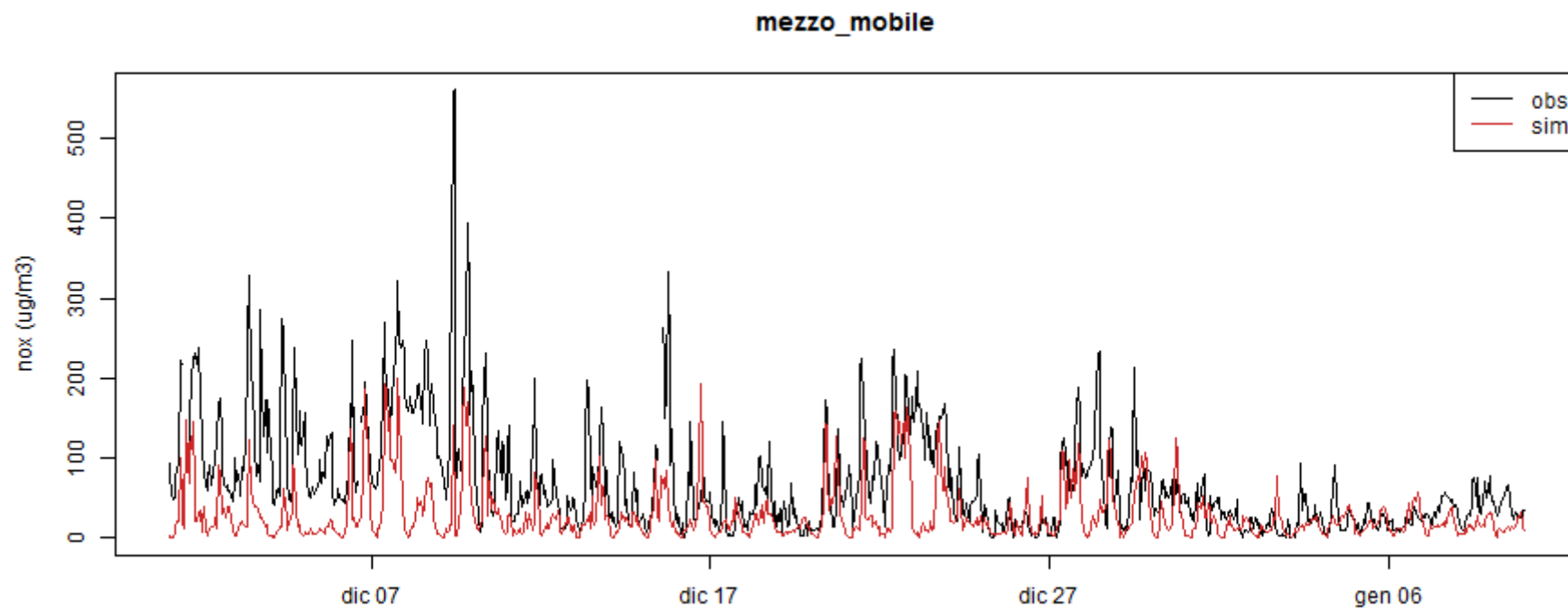


Figura A35: Andamento temporale osservato-simulato per le medie orarie degli ossidi di azoto presso il sito di monitoraggio di Collegno nel periodo 1 dicembre 2010 – 10 gennaio 2011

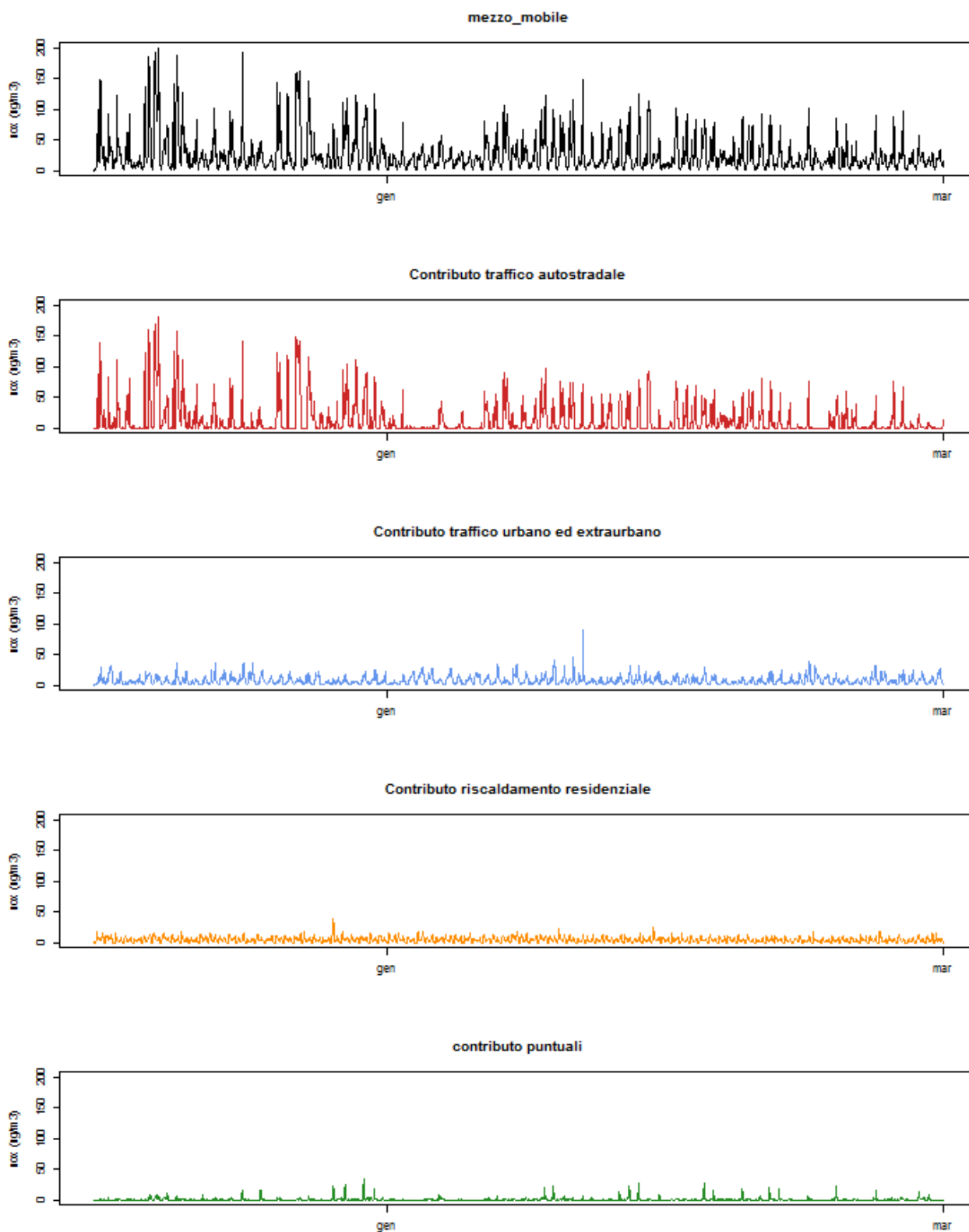


Figura A36: Andamento temporale simulato per le medie orarie degli ossidi di azoto presso il sito di monitoraggio di Collegno nel periodo 1 dicembre 2010 – 10 gennaio 2011. Partendo dall'alto: totale simulato, contributo del traffico autostradale, del traffico urbano ed extraurbano, del riscaldamento residenziale e delle sorgenti puntuali

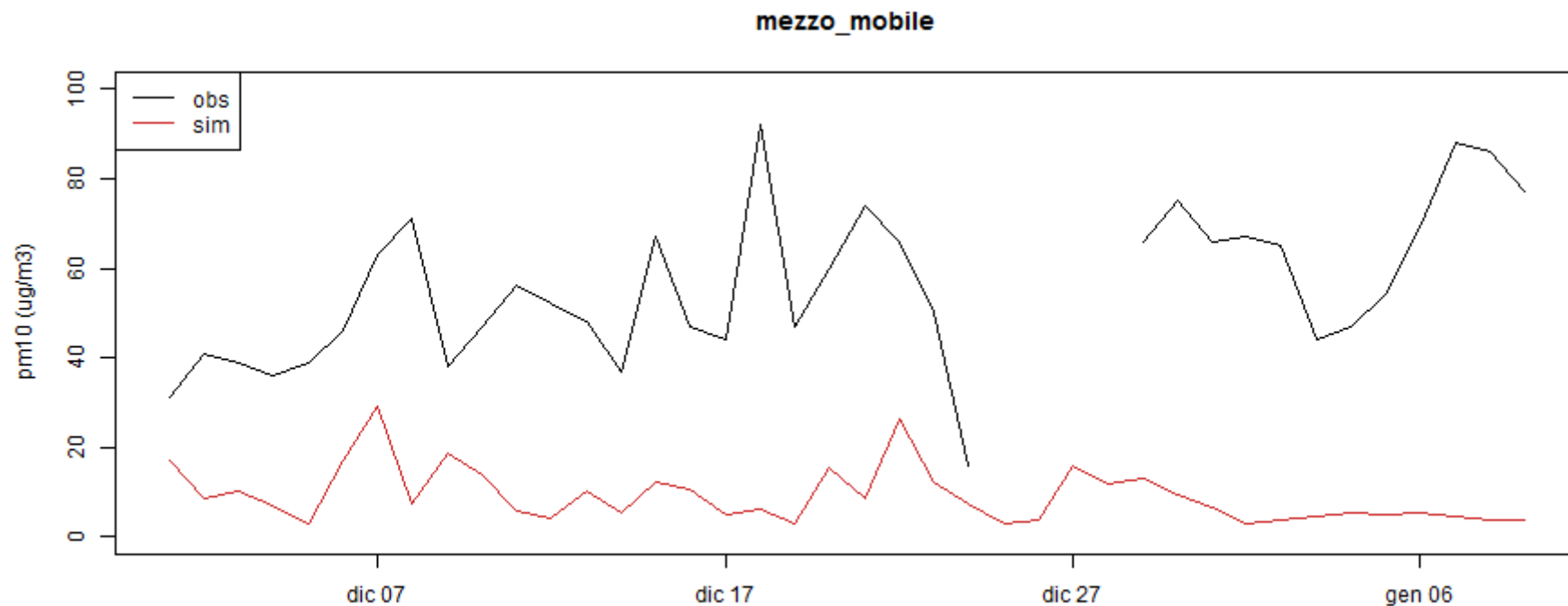


Figura A37: Andamento temporale osservato-simulato per le medie giornaliere di particolato PM10 presso il sito di monitoraggio di Collegno nel periodo 1 dicembre 2010 – 10 gennaio 2011

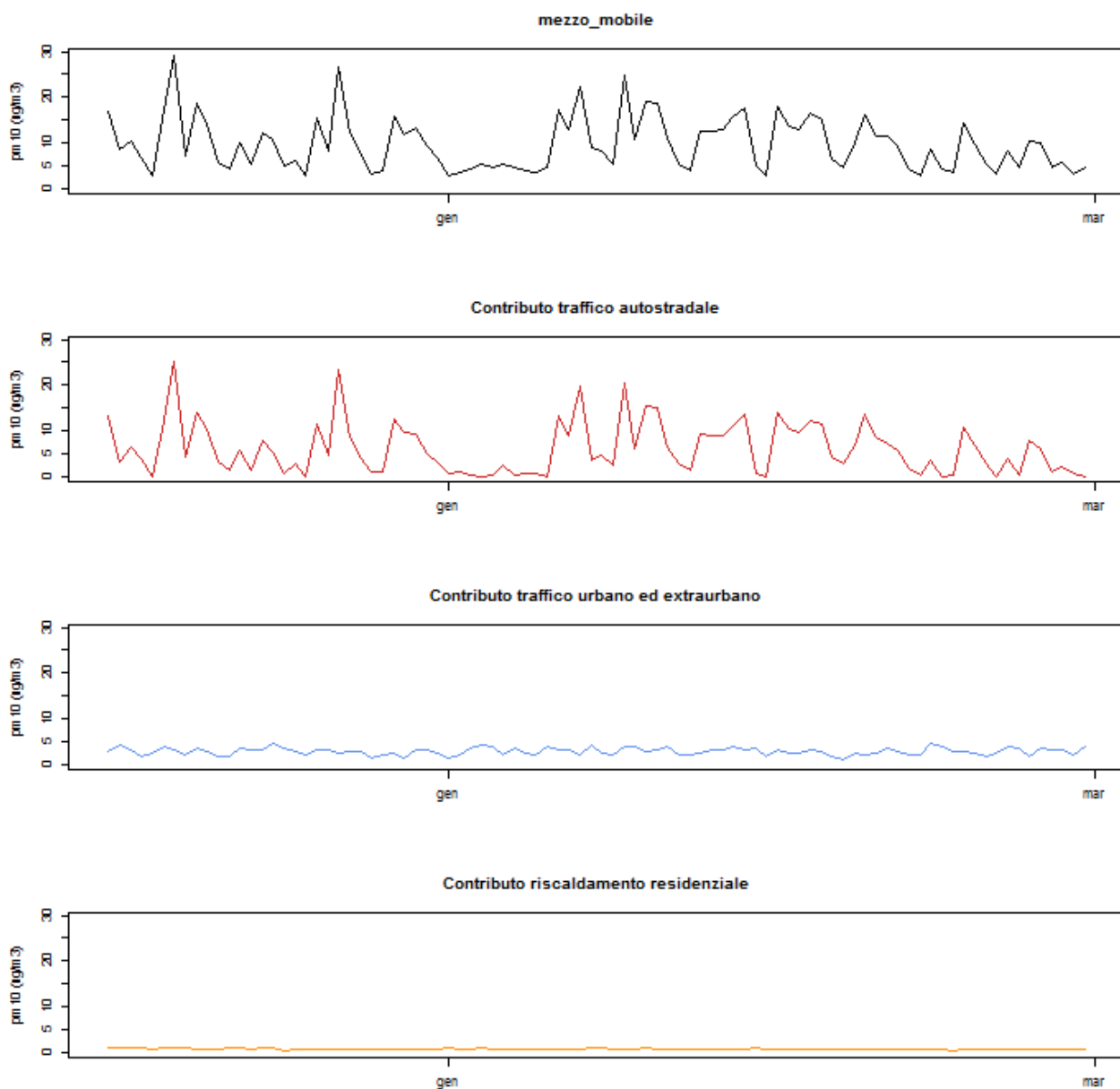


Figura A38: Andamento temporale simulato per le medie giornaliere del particolato PM10 presso il sito di monitoraggio di Collegno nel periodo 1 dicembre 2010 – 10 gennaio 2011. Partendo dall'alto: totale simulato, contributo del traffico autostradale, del traffico urbano ed extraurbano e del riscaldamento residenziale

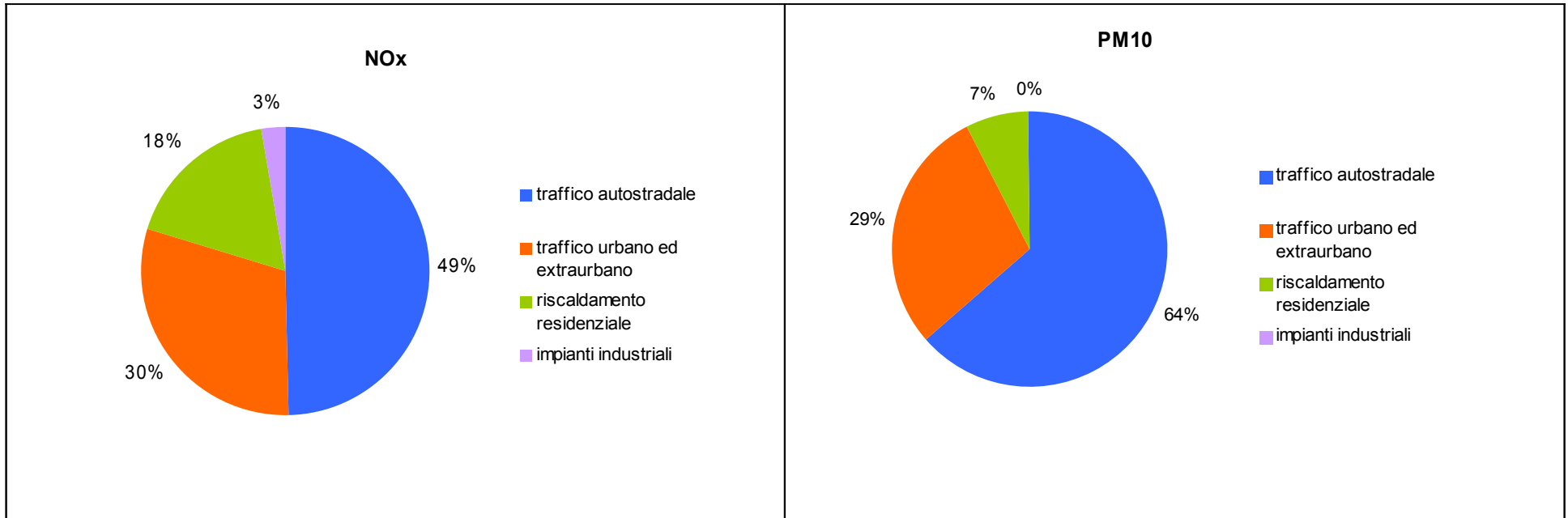


Figura A39. Collegno – Via Boves (01/12/10 ÷ 28/02/11): contributo percentuale delle diverse sorgenti emmissive alle concentrazioni simulate di NO_x e PM10 primario

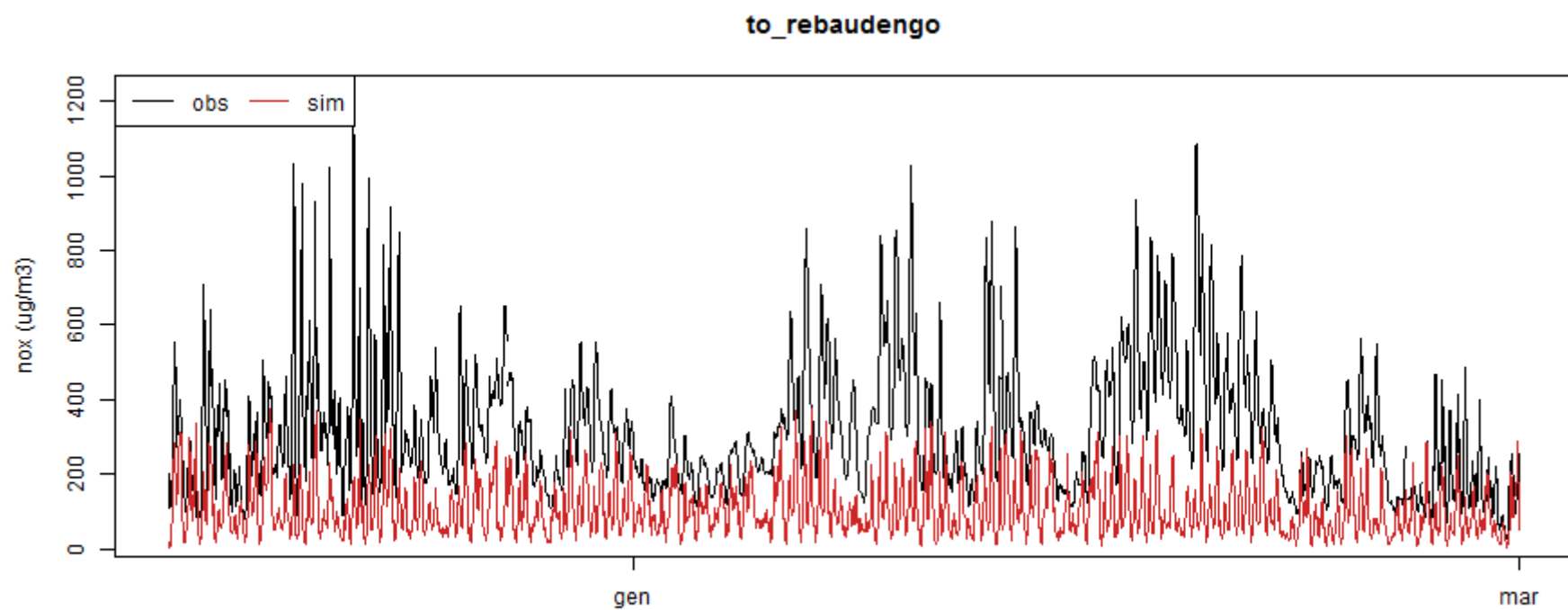


Figura 40: Andamento temporale osservato-simulato per le medie orarie degli ossidi di azoto presso la stazione di Torino Rebaudengo nel periodo 1 dicembre 2010 – 28 febbraio 2011

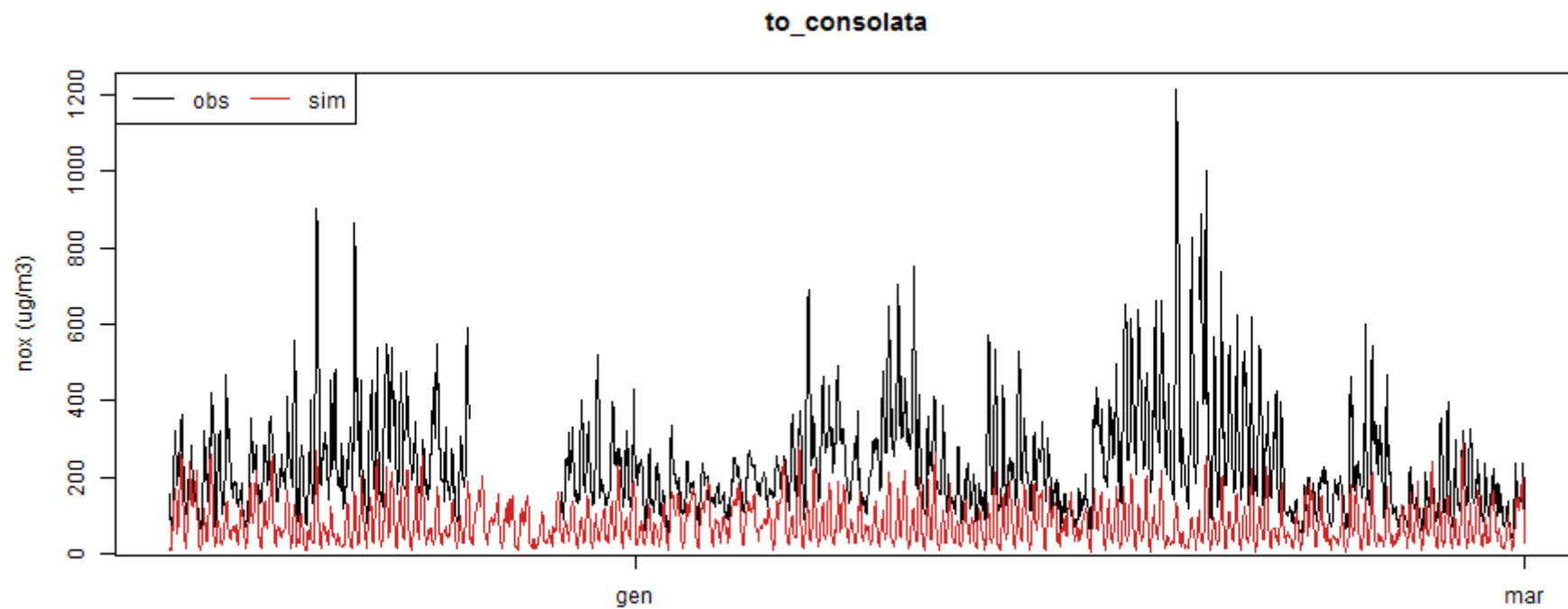


Figura 41: Andamento temporale osservato-simulato per le medie orarie degli ossidi di azoto presso la stazione di Torino Consolata nel periodo 1 dicembre 2010 – 28 febbraio 2011

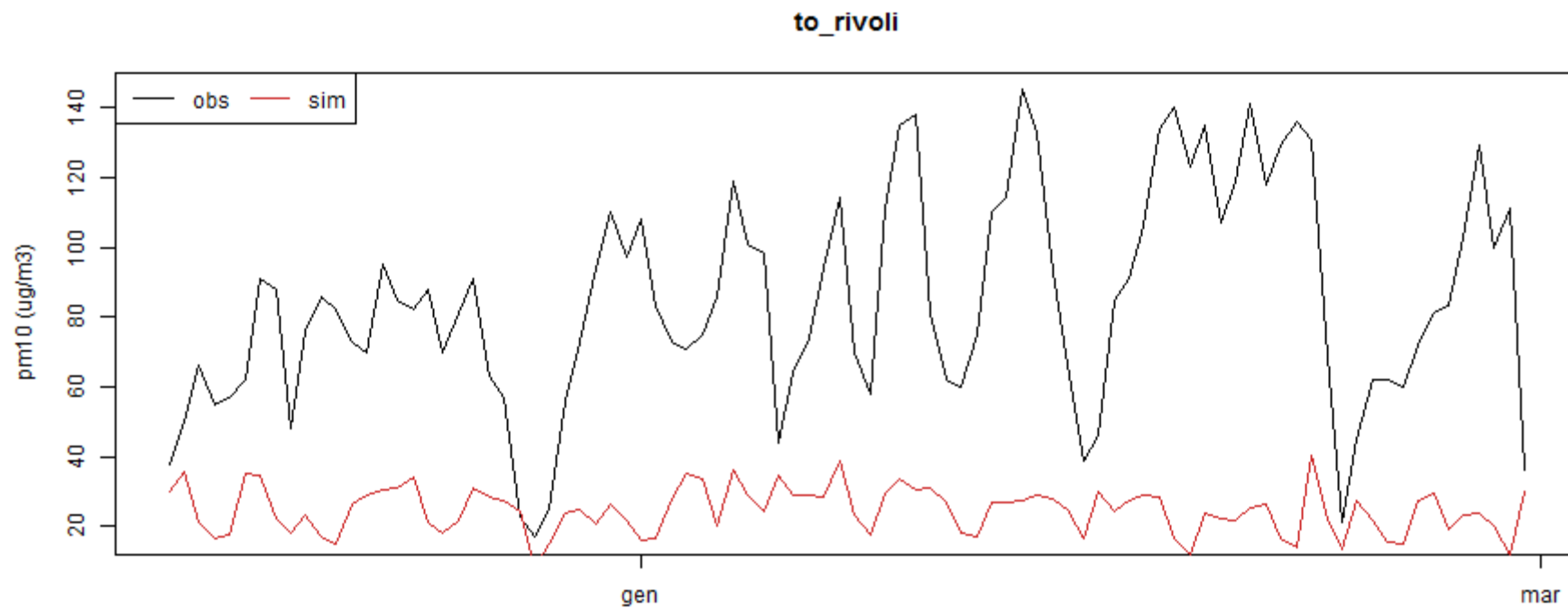


Figura 42: Andamento temporale osservato-simulato per le medie giornaliere di particolato PM10 presso la stazione di Torino Rivoli nel periodo 1 dicembre 2010 – 28 febbraio 2011

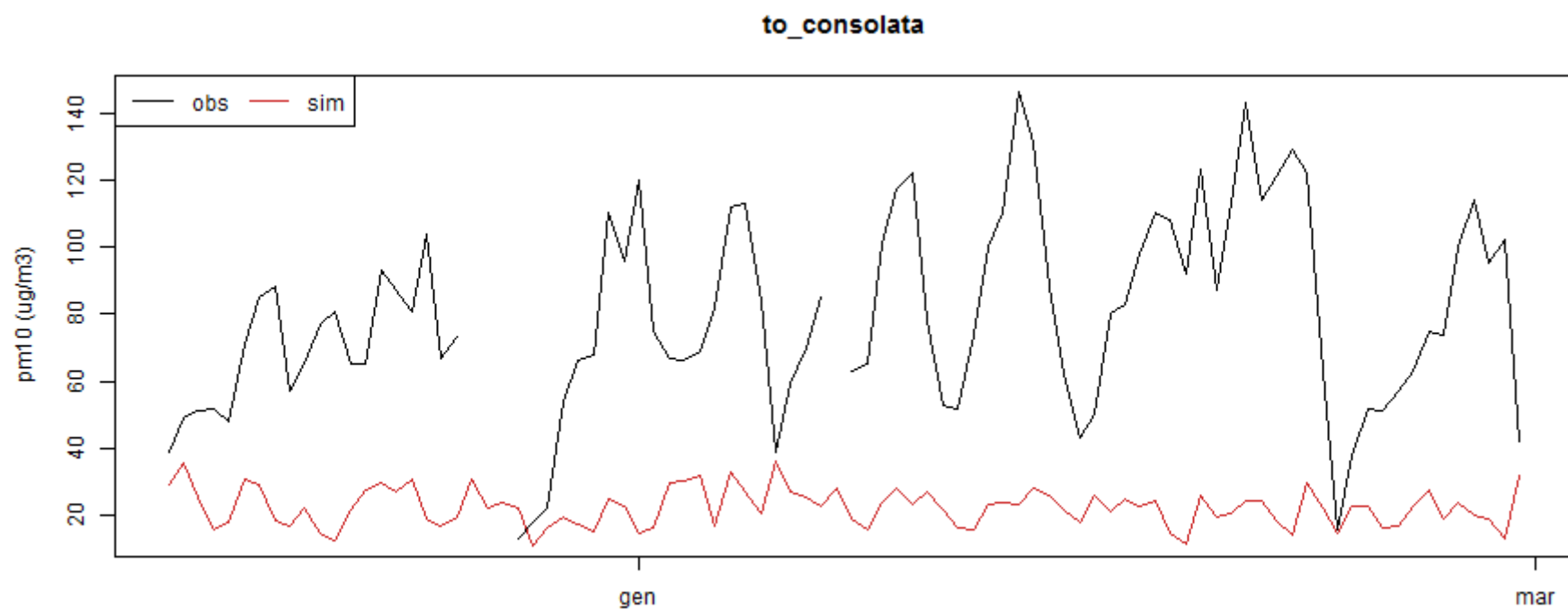


Figura 43: Andamento temporale osservato-simulato per le medie giornaliere di particolato PM10 presso la stazione di Torino Consolata nel periodo 1 dicembre 2010 – 28 febbraio 2011